

บทที่ 4

ผลและวิจารณ์ผลการวิจัย

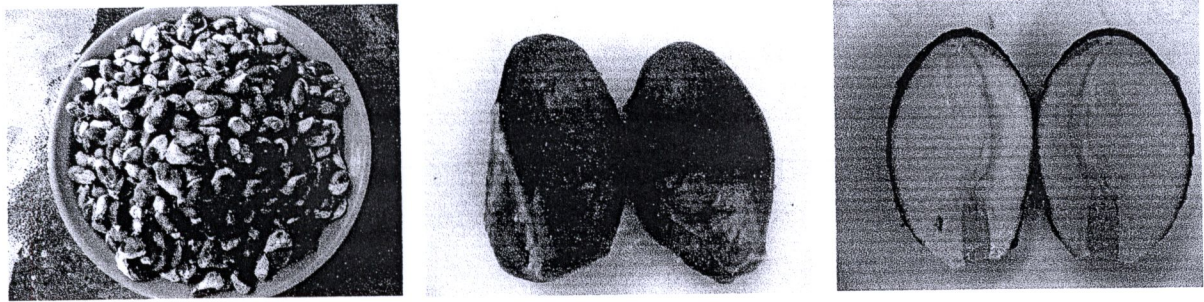
ตอนที่ 1 การสกัดแยกแป้งจากเม็ดทุเรียนและการศึกษาสมบัติของแป้งเม็ดทุเรียน

เม็ดทุเรียนมีปริมาณเยื่อไขสูงและถูกใช้เป็นส่วนผสมในอาหารเพื่อทำให้อาหารข้นหนืด (Amin, 2007) สมบัติ thickening ของเม็ดทุเรียนมาจากไฮโดรโคลล็อยด์ (hydrocolloid) ในรูปของแป้ง (starch) ที่เป็นองค์ประกอบหลักในเม็ดทุเรียน งานวิจัยในส่วนนี้ต้องการแยกแป้งจากเม็ดทุเรียนและศึกษาสมบัติทางเคมีโดยเปรียบเทียบกับสมบัติของแป้งดัดแปลงทางการค้าที่นิยมใช้ในทางอาหาร 2 ชนิดคือ แป้งข้าวโพดและแป้งมันสำปะหลัง โดยคาดหวังความเข้าใจถึงความสัมพันธ์ของโครงสร้างและการทำงานของของแป้งเม็ดทุเรียน จำนำไปสู่การประยุกต์ใช้เป็นวัตถุดิบหลักในการเตรียมพิล์มน์ที่บริโภคได้สำหรับลดการดูดซับน้ำมันในอาหารทอด เพื่อเป็นอีกหนึ่งทางเลือกในการเพิ่มมูลค่าของเม็ดทุเรียน

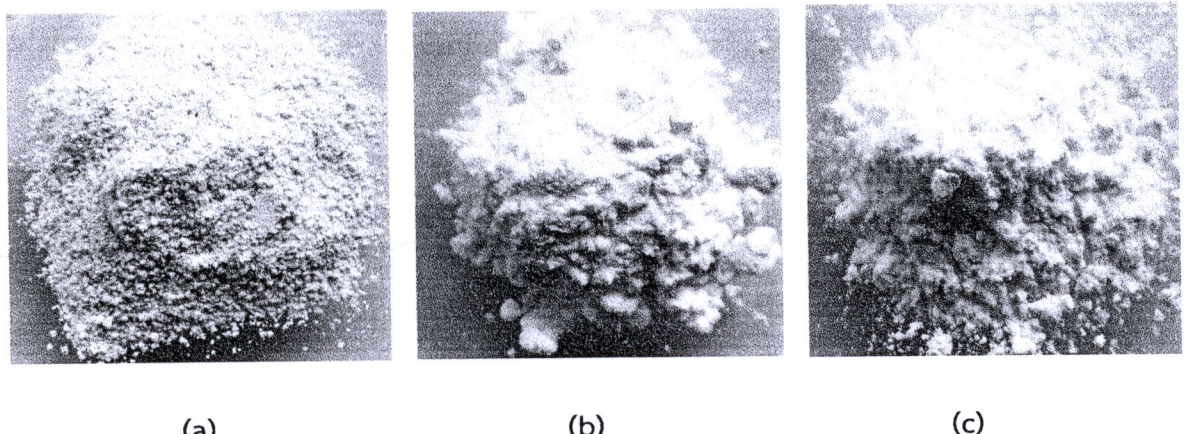
สีและลักษณะที่ปรากฏ (Color and appearance)

เม็ดทุเรียนมีลักษณะรีและมีเปลือกสีน้ำตาล เมื่อผ่าออกจะมีเมือก (slime) และเนื้อในสีขาวดังแสดงในรูปที่ 1 เมือกเหล่านี้จะเป็นปุญหาบ้างในขั้นตอนการปอกเปลือกเพื่อนำมาสกัดแป้ง ในการทดลองนี้ได้คัดขนาดของเม็ดทุเรียนให้ใกล้เคียงกันอยู่ในช่วง 3.5-4.5 ซม. วิธีการการสกัดแป้งอย่างง่ายจากเม็ดทุเรียนที่ใช้ในงานวิจัยนี้ให้ผลผลิตแป้งสูงที่มีความชื้นอยู่กับปริมาณสารละลายที่ใช้ในขั้นตอนโดยประมาณ 13 โดยน้ำหนักตามมาตรฐานของ Thailand trade ministry (1993) ปริมาณผลผลิตแป้งที่ได้จะขึ้นอยู่กับปริมาณสารละลายที่ใช้ในขั้นตอนโดยประมาณ 20-30 โดยน้ำหนักเม็ดทุเรียนสด

แป้งเม็ดทุเรียนที่แยกได้มีสีค่อนข้างขาว (รูปที่ 2) โดยมีค่า L* ประมาณ 90% และมีค่า a* เข้าใกล้ศูนย์ในขณะที่ค่า b* อยู่ในช่วงของสีเหลืองเล็กน้อย (ตารางที่ 2) ในขณะที่มีค่า Hue และ Chroma เท่ากับ 87.55 และ 9.14 ตามลำดับ ซึ่งแสดงว่าแป้งเม็ดทุเรียนมีสีเหลืองอ่อนจางและซีด (dull) โดยทั่วไปสีของแป้งจะแตกต่างกันไปขึ้นกับชนิดของวัตถุดิบ สิ่งเจือปน และสภาพที่ใช้ในการโน่น (milling) (Dobraszczyk, 2001) สีของแป้งเป็นปัจจัยที่สำคัญปัจจัยหนึ่งสำหรับประยุกต์ใช้ทางอาหาร เพื่อให้คุณภาพของผลิตภัณฑ์ไม่เปลี่ยนแปลงไปที่เป็นผลมาจากการรบกวนของสีแป้ง



รูปที่ 1 ลักษณะที่ปรากฏของตัวอย่างเม็ดทุเรียนที่ใช้เพื่อสกัดแยกแป้ง



(a)

(b)

(c)

รูปที่ 2 ลักษณะที่ปรากฏและสีของ (a) แป้งเม็ดทุเรียน เมื่อเปรียบเทียบกับแป้งดัดแปลงที่จำหน่ายทางการค้า 2 ชนิดคือ (b) แป้งข้าวโพด และ (c) แป้งมันสำปะหลัง

องค์ประกอบทางโภชนา (Nutritional Composition)

เม็ดทุเรียนเป็นแหล่งของการໂປໄໂຫດເຮົາເຊີງຊອນ (complex carbohydrates) จากผลการวิเคราะห์ตัวอย่าง เม็ดทุเรียนพบว่ามีแป้ง (starch) เป็นองค์ประกอบหลัก ถึงร้อยละ 56.03 ± 0.08 ของน้ำหนักแห้ง ซึ่งน่าจะเป็นแหล่งของแป้งจากเม็ดผลไม้ที่นำสินใจแหล่งหนึ่ง นอกจากนั้นยังประกอบด้วยโปรตีน (ร้อยละโดยน้ำหนักแห้ง) 7.24 ± 0.10 ไขมันหายา 0.32 ± 0.03 เยื่อใยหยาบ (crude fiber content) 2.36 ± 0.15 และเล้า 3.58 ± 0.03 เมื่อนำมาผ่านกระบวนการสกัดแยกแป้งอย่างง่ายโดยการแยกกากระหรี่ไม่ละลายน้ำออก เนื่องจากกากระหรี่ไม่ละลายน้ำนี้จะเป็นปัจจัยสำคัญในการเตรียมพิล์มที่บริโภคได้ในขั้นตอนถัดไป ทำให้แป้งเม็ดทุเรียนที่แยกได้มีปริมาณเยื่อไอลดลงจาก 2.36% โดยน้ำหนักแห้ง เหลือเพียง 0.30% นั่นคือสามารถแยกกากระหรี่ไม่ละลายน้ำได้คิดเป็นร้อยละ 87.29 แต่ก็ทำให้สูญเสียปริมาณโปรตีน ไขมันและเล้าไปด้วยเหลือเพียงร้อยละ $4.71, 0.27$ และ 2.82 โดยน้ำหนักแห้ง ตามลำดับ (ตารางที่ 3)

ตารางที่ 3 องค์ประกอบทางเคมีและสมบัติของแป้งเม็ดทุเรียน แป้งข้าวโพดและแป้งมันสำปะหลัง

Composition/Properties (Calculate by dried basis)	DSS	Corn starch	Cassava starch
Composition of starch			
Moisture content (%)	12.50±0.09	8.70±0.25	8.30±0.03
Protein content (%)	4.71±0.09	0.34±0.01	2.67±0.00
Crude fat content (%)	0.27±0.03	0.30±0.00	0.12±0.03
Crude fiber content (%)	0.30±0.00	0.50±0.00	0.40±0.00
Ash content (%)	2.82±0.08	0.08±0.03	0.10±0.00
Amylose content (%)	24.92±0.26	45.20±0.13	40.28±0.97
Viscosity			
Peak viscosity (RVU)	65±0	193±2	372±0
Holding strength (RVU)	61±0	138±3	13. ±2
Breakdown (RVU)	91±2	203±2	208±2
Final viscosity (RVU)	4±0	56±1	241±1
Peak time (min)	6.79±0.02	5.34±0.00	3.60±0.02
Pasting temperature (°C)	83.80±0.28	77.23±0.32	68.28±0.25
Setback (RVU)	30±2	65±1	77±4
Clarity (%T)	0.91±0.08	3.01±0.37	22.79±1.11
Color: L	89.78±0.05	96.74±0.01	96.09±0.03
a	0.39±0.02	-0.98±0.01	0.50±0.01
b	9.13±0.01	5.58±0.00	1.55±0.01
Hue angle	87.55	80.03	72.12
Chroma	9.14	5.67	1.63
Gelatinization (Determined by DSC)			
T _o , (°C)	75.49±0.06	66.18±0.30	61.53±0.38
T _p , (°C)	82.00±0.00	71.44±0.34	66.72±0.25
T _c , (°C)	86.77±0.05	76.80±0.48	73.92±0.26
ΔH _{gel} (J/g)	9.53±0.02	12.12±0.04	12.98±0.09
R	13.02	5.26	5.19
PHI	1.46	4.61	5.00

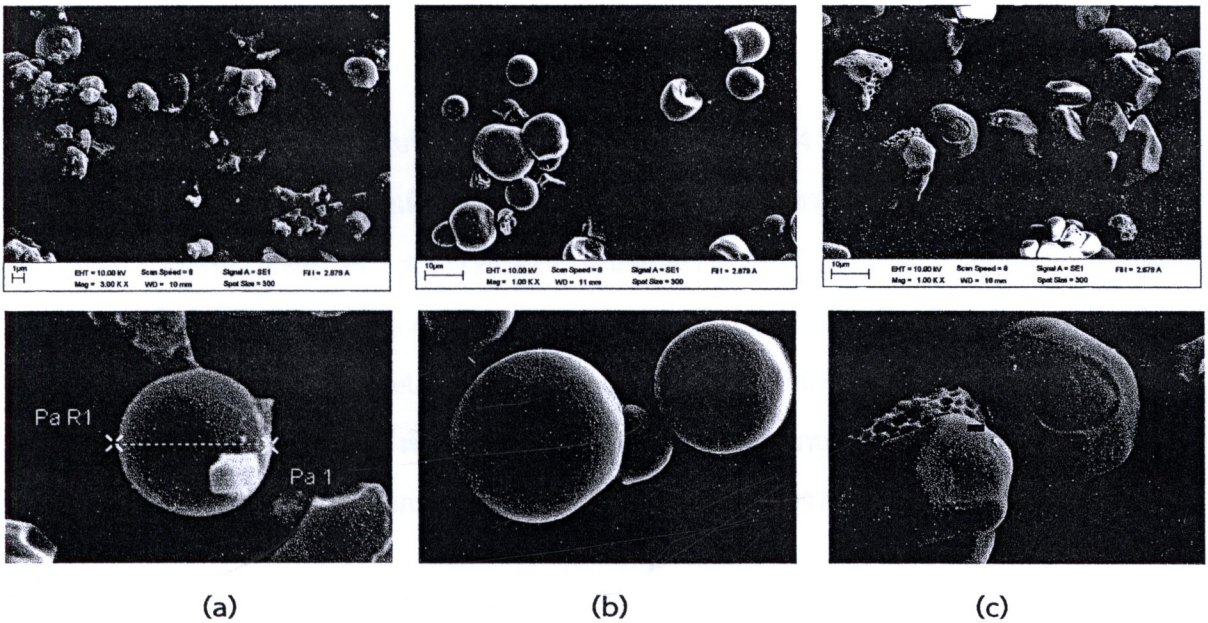
เมื่อเปรียบเทียบองค์ประกอบทางเคมีของแป้งเม็ดทุเรียนกับแป้งข้าวโพด และแป้งมันสำปะหลัง พบร่วมกันว่า แป้งเม็ดทุเรียนมีปริมาณโปรตีนและเกลามากกว่า แต่เมื่อเปรียบเทียบเม็ดทุเรียนกับแป้งทั้งสองชนิดดังกล่าวอย่างมีนัยสำคัญ ($P<0.05$) สำหรับปริมาณไขมันหยาบของแป้งเม็ดทุเรียน (0.27%) มีค่ามากกว่าแป้งที่สกัดมาจากพืชชนิดอื่นที่มีรายงานการศึกษามาก่อน เช่นใน okenia starch (0.17%) (Sanchez-Hemandez et al., 2002) amaranth starch ($0.12-1.56\%$) (Perez et al. 1997) quinoa starch (0.11%) (Lorenz, 1990) ปริมาณไขมันในแป้งมีความสำคัญ เพราะเกี่ยวข้องกับการเกิดสารเชิงซ้อนของอะไมโลส-ไขมันที่เกิดขึ้นในระหว่างกระบวนการแปรรูปเป็น resistant starch (Asp and Bjorck, 1992) และแป้งเม็ดทุเรียนมีปริมาณอะไมโลสเท่ากับร้อยละ 24.92 ซึ่งน้อยกว่ามันสำปะหลังและแป้งข้าวโพดอย่างมีนัยสำคัญ ($P>0.05$)

ลักษณะทางสัณฐานวิทยาของเม็ดแป้ง (Morphology of starch granule)

เม็ดแป้งจะมีขนาดและรูปร่างหลากหลายและมีความจำเพาะตามชนิดของแป้ง (Srichuwong et al., 2005) ขึ้นกับชนิดของพืช (botanical source) ความหลากหลายทางพันธุกรรม (gene-line variation) ระยะของการพัฒนา (stage of development) การเกิดไฮโดรไลซิสของแป้ง (starch hydrolysis) และสภาวะแวดล้อม (Waghorn et al., 2003) ลักษณะทางสัณฐานวิทยาของเม็ดแป้งขึ้นกับชีวเคมีของคลอโรพลาสต์ (chloroplast) หรืออะมิโลพลาสต์ (amyloplast) และสรีรวิทยา (physiology) ของพืช (Singh et al., 2003) โดยทั่วไปขนาดของเม็ดแป้งอาจแตกต่างกันในช่วง $1-110$ ไมโครเมตร (Singh et al., 2003)

เมื่อทำการตรวจวัดแป้งเม็ดทุเรียนด้วยกล้องจุลทรรศน์อิเล็กตรอนแบบส่องกราด (scanning electron microscope) ได้ผลการทดลองดังแสดงในรูปที่ 3 จะเห็นได้ว่าแป้งเม็ดทุเรียนมีขนาดเล็กและรูปร่างกลม (rounded shape) ที่มีเส้นผ่าศูนย์กลางของเม็ดแป้งอยู่ในช่วง $2-4$ ไมโครเมตร ในขณะที่แป้งข้าวโพดและแป้งมันสำปะหลังมีขนาดใหญ่กว่าอยู่ในช่วง $6-8$ และ $10-12$ ไมโครเมตร ตามลำดับ การที่แป้งเม็ดทุเรียนมีขนาดเล็กกว่าบันทึกไว้ใน การประยุกต์ใช้ในอุตสาหกรรมหลายประเภท เนื่องจากเม็ดแป้งขนาดเล็กจะมีความสามารถในการดูดซับสูง (high adsorbent capacity) (Paredes-Lopez et al., 1989) และสามารถใช้เป็นตัวพา (carrier) ในกระบวนการ encapsulation องค์ประกอบทางอาหาร เช่น กลิ่นรส (flavor) สี (colorant) (Zhao and Whistler, 1994)

เมื่อพิจารณาพื้นผิวของเม็ดแป้งของแป้งเม็ดทุเรียน (รูปที่ 3.1) พบร่วมกันว่ามีพื้นผิวเรียบ ไม่มีความผิดปกติหรือ การกัดกร่อน (corrosion) บนพื้นผิว ซึ่งแตกต่างจากเม็ดแป้งข้าวโพดที่มีรูพรุน (pore) บนพื้นผิว ลักษณะของพื้นผิว จะมีผลกับการเกิดปฏิกิริยาของแป้งเมื่อต้องการดัดแปลงด้วยกระบวนการทางเคมีที่ส่งผลต่อการเปลี่ยนแปลงของสมบัติทางเคมีภysis และทางหน้าที่ให้เป็นไปตามที่ต้องการ (Bello-Peretz et al., 2006) อย่างไรก็ตามพบความเสียหายของเม็ดแป้งบางส่วน ซึ่งเป็นผลจากขั้นตอนการบด



รูปที่ 3 scanning electron micrograph ของ (a) แป้งเม็ดทุเรียน (b) แป้งมันสำปะหลัง และ (c) แป้งข้าวโพด (หมายเหตุ-การขยายและเลือกตัดเฉพาะบางส่วนของภาพ ทำให้สเกล (scale) การวัดขนาดที่แสดงในภาพนี้ไม่สามารถเทียบเคียงกันได้ด้วยตา)

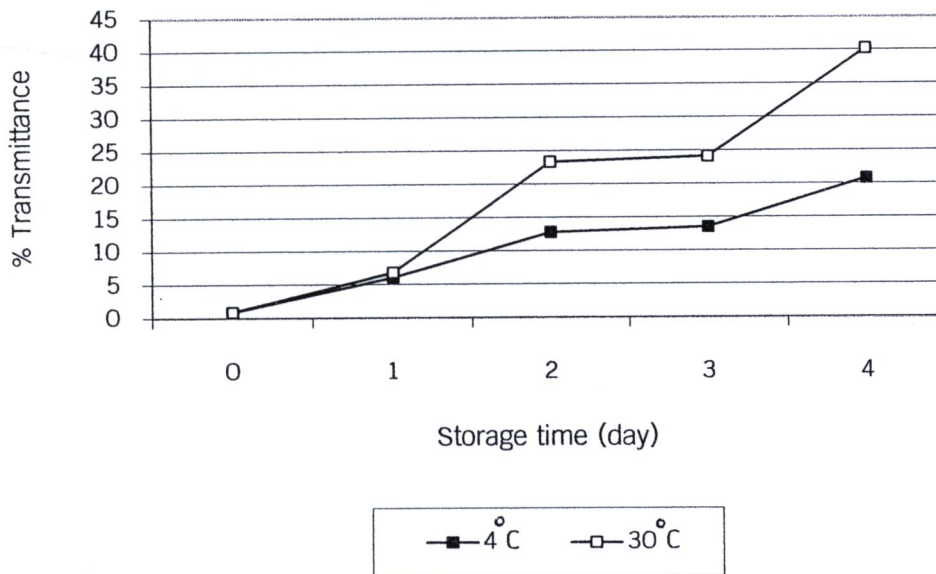
ความใสของแป้งสุก (Clarity of starch pastes)

การใช้งานแป้งที่สำคัญคือการเพิ่มความหนืดให้กับอาหาร ดังนั้นสมบัติความใสของแป้งจึงมีความสำคัญอย่างมาก ซึ่งขึ้นกับชนิดของแป้ง แต่สามารถเปลี่ยนแปลงได้เมื่อทำการตัดแปลงเม็ดแป้ง (starch granule modification) เมื่อนำแป้งเม็ดทุเรียนมาละลายน้ำและผ่านกระบวนการเจลาตินเซชันจะได้แป้งสุกที่มีความใสเนื่องจากในระหว่างที่แป้งเกิดเจลาตินเซชัน เม็ดแป้งที่พองตัวจะยอมให้แสงผ่านและเกิดการหักเห (refraction) โดยตัวของกระบวนการหักเหจะลดลงเมื่อมีเม็ดแป้งมีการพองตัวเพิ่มขึ้น (Craig et al., 1989)

เมื่อเปรียบเทียบความใสของแป้งสุกระหว่างแป้งเม็ดทุเรียนกับแป้งข้าวโพดและแป้งมันสำปะหลัง พบร่วมกันว่า แป้งเม็ดทุเรียนสุกมีความโปร่งแสงน้อยกว่าแป้งข้าวโพดและแป้งมันสำปะหลัง (ตารางที่ 1) โดยมีค่า %T น้อยกว่า แป้งข้าวโพดและแป้งมันสำปะหลัง 3.3 และ 25.0 เท่า ตามลำดับ เนื่องจากแป้งเม็ดทุเรียนสุกมีเศษเม็ดแป้ง (granule remnants) ที่เกิดการแตกหักจากขั้นตอนการบดที่พองตัวในเดกรีที่แตกต่างกัน ทำให้แสงที่ฉายผ่านเม็ดแป้งที่มีรูปร่างแตกต่างกันและมีความหนาแน่นแตกต่างกันไม่โค้งในรูปแบบเดียวกัน (bend nonuniformly) ดังนั้นจึงทำให้เห็นแป้งเม็ดทุเรียนสุกมีความใสน้อยกว่าแป้งมันสำปะหลังและแป้งข้าวโพดที่มีเม็ดแป้งที่ค่อนข้างสมบูรณ์และขนาดใกล้เคียงกัน นอกจากนั้น Swinkels (1985) ยังรายงานว่าอัตราส่วนระหว่างอะโนไลสและอะโนไลเพคติน

และดีกรีของการเกิดโพลิเมอไรเซชัน (degree of polymerization) ของอะไมโลสก์เป็นปัจจัยที่สำคัญที่มีผลต่อ สมบัติความใสของแป้งสุกเช่นกัน

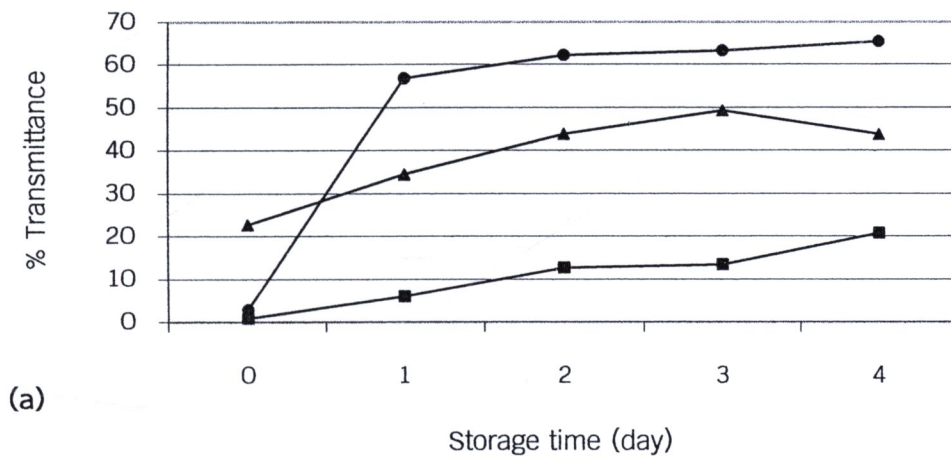
เมื่อนำแป้งเม็ดทูเรียนสุกมาเก็บรักษาที่ 30°C และที่ 4°C เป็นเวลา 4 วัน พบร่วงเกิดการตกตะกอนขึ้น ทำให้แยกโซน (zone) ที่ค่อนข้างสังเกตเห็นได้ด้วยตา โดยส่วนบนของสารแหวนลอยสามารถให้แสงส่องผ่านได้ มากขึ้น (%T เพิ่มขึ้น) Mile et al. (1985a,b) เสนอแนะว่าการคืนตัวของแป้งสุก (retrogradation) ประกอบด้วย 2 ขั้นตอนที่แยกจากกันคือ การเกิดเจล (gelation) ของโมเลกุลอะไมโลสที่ถูกขับออกมานอกเม็ดแป้งใน ระหว่างกระบวนการเจลาตินไซเซชัน (gelatinization) และขั้นตอนการเกิดการตกผลึกใหม่ (recrystallization) ของอะไมโลเพคติน (amylopectin) ซึ่งขึ้นกับปัจจัยหลายประการ ได้แก่ การพองตัวของเม็ดแป้ง เศษของเม็ดแป้ง อะไมโลสและอะไมโลเพคตินที่ถูกขับออกมานอก (Jacobsom and BeMiller, 1997) ซึ่งส่งผลให้เกิดการเปลี่ยนแปลง สมบัติความใสของแป้งสุกและส่งผลต่อการหักเหและการกระจายของแสง (Perera and Hoover, 1999)



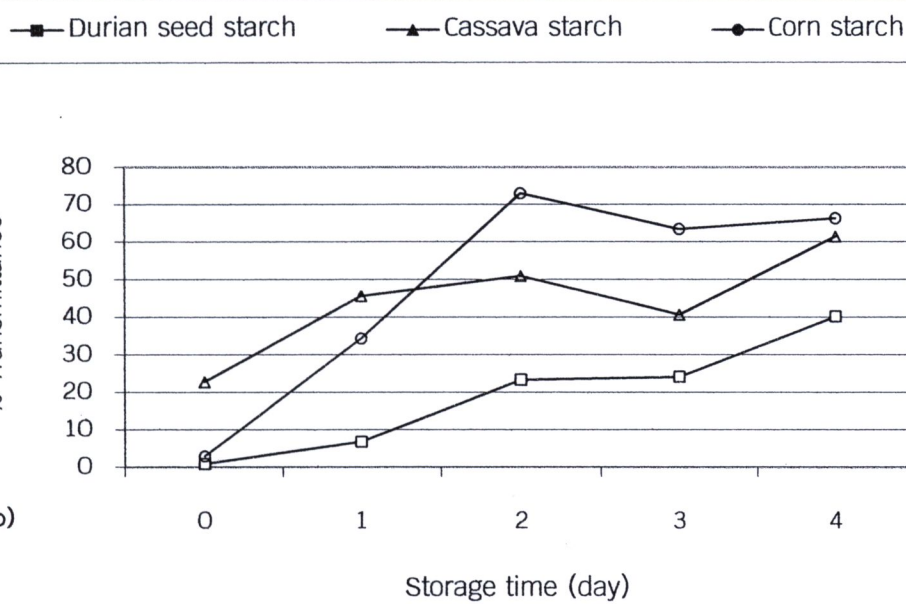
รูปที่ 4 สมบัติความใสของแป้งเม็ดทูเรียนสุกเมื่อเก็บรักษาที่ 4°C และ 30°C เป็นเวลา 4 วัน

จากรูปที่ 4 จะเห็นได้ว่าภายในหลังจากที่เก็บรักษาเป็นเวลา 48 ชั่วโมง ที่อุณหภูมิต่ำ (4°C) จะให้ค่า %T ต่ำ กว่าเมื่อเก็บที่อุณหภูมิสูง (30°C) แสดงว่าที่อุณหภูมิสูงจะเกิดการคืนตัวของแป้งสุกได้กว่าเมื่อเก็บรักษาที่อุณหภูมิต่ำ การเก็บรักษาที่อุณหภูมิในตู้เย็นทำให้เกิดผลึกสมบูรณ์น้อยกว่าเมื่อเก็บที่อุณหภูมิห้อง ซึ่งจะเกิดการรวมกลุ่ม ของโซ่อะไมโลสในอัตราสูง แนวโน้มในทำนองเดียวกันพบได้ในกรณีของแป้งมันสำปะหลังและแป้งข้าวโพด (รูปที่ 5) อย่างไรก็ตามเมื่อพิจารณาการเปลี่ยนแปลงของค่า %T เมื่อเก็บรักษาเป็นเวลา 48 ชั่วโมงที่อุณหภูมิห้องมีผลทำให้มี

ค่า %T เพิ่มขึ้นร้อยละ 25.71, 24.39 และ 2.24 จากเริ่มต้น ของแป้งสุกจากแป้งเม็ดทุเรียน แป้งข้าวโพดและแป้งมันสำปะหลังตามลำดับ ในขณะที่เมื่อเก็บรักษาที่อุณหภูมิในตู้เย็นจะมีค่าเพิ่มขึ้นร้อยละ 14.10, 20.81 และ 1.93 จากเริ่มต้น ของแป้งสุกจากแป้งเม็ดทุเรียน แป้งข้าวโพดและแป้งมันสำปะหลัง ตามลำดับ จะเห็นได้ว่าแป้งเม็ดทุเรียนมีความเสถียรของ paste ไม่แตกต่างทางสถิติ ($P>0.05$) กับของแป้งข้าวโพดเมื่อเก็บรักษาที่อุณหภูมิห้องเป็นเวลา 48 ชั่วโมง และมีความเสถียรต่กว่าเมื่อเก็บรักษาที่อุณหภูมิ 4°C เป็นเวลา 48 ชั่วโมง



(a)



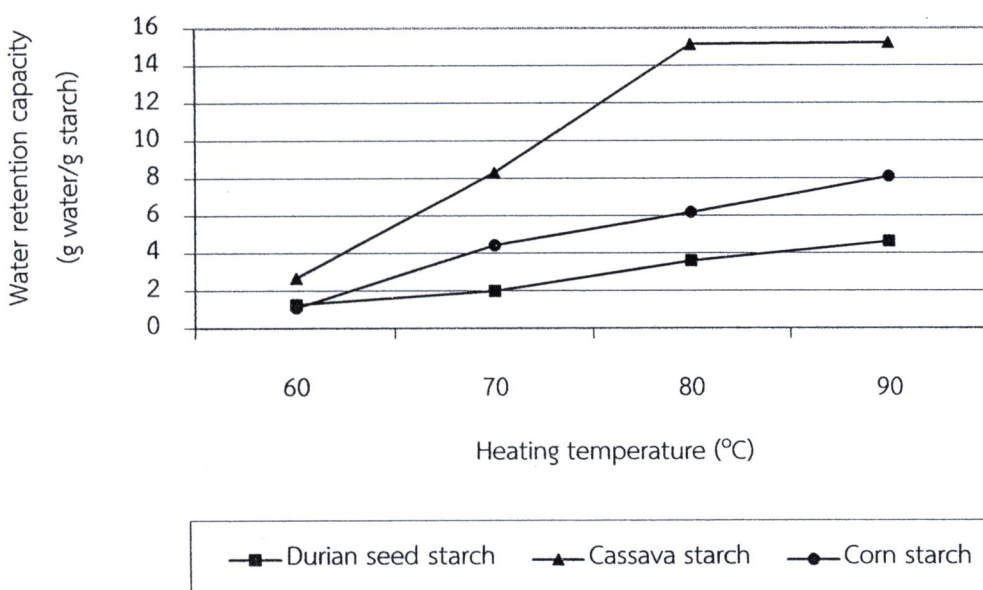
(b)

รูปที่ 5 สมบัติความใสของแป้งสุกของแป้งเม็ดทุเรียน แป้งมันสำปะหลังและแป้งข้าวโพดเมื่อเก็บรักษาที่ (a) 30°C และ (b) 4°C เป็นเวลา 4 วัน

ความสามารถในการอุ้มน้ำ (Water retention capacity; WRC)

ค่า WRC บ่งบอกถึงความสามารถของโปรตีนแมทริกซ์ (protein matrix) ที่จะดูดซับและดักจับน้ำต้านแรงดึงดูด (gravity) (Traynham et al., 2007) จึงใช้เป็นดัชนีที่ใช้บอกรความสามารถของแป้งในการอุ้มน้ำ เม็ดแป้งไม่ละลายในน้ำเย็น แต่จะดูดซับน้ำและพองตัวเล็กน้อยเนื่องจากมีหมู่ฟังก์ชันลักษณะพิเศษไฮดรอกซิล (hydroxyl group) ในโครงสร้างของแป้ง เมื่อเพิ่มอุณหภูมิสูงขึ้น โมเลกุลของแป้งจะสั่น (vibrate) รุนแรงมากขึ้น และเกิดการทำลายพันธะระหว่างโมเลกุล ทำให้ตำแหน่งพันธะไฮโดรเจนดูดซับโมเลกุln้ำได้มากขึ้น (Fennema, 1985) ค่า WRC ของแป้งเม็ดทุเรียนมีค่าอยู่ในช่วง 1.27 ± 0.06 กรัมของน้ำ/กรัมของแป้งแห้งที่อุณหภูมิ 60°C ถึง 4.65 ± 0.04 กรัมของน้ำ/กรัมของแป้งแห้งที่อุณหภูมิ 90°C นั่นคือมีความสามารถในการอุ้มน้ำเพิ่มขึ้นถึง 266% เมื่ออุณหภูมิเพิ่มขึ้นจาก 60°C เป็น 90°C

เมื่อเปรียบเทียบค่า WRC ของแป้งเม็ดทุเรียนกับแป้งข้าวโพดและแป้งมันสำปะหลัง (รูปที่ 6) พบว่าที่อุณหภูมิ 60°C แป้งเม็ดทุเรียน (1.27 ± 0.05) จะมีค่า WRC มากกว่าแป้งข้าวโพด (1.10 ± 0.09) เล็กน้อยแต่ไม่มีความแตกต่างทางสถิติ ($P > 0.05$) เมื่อเพิ่มอุณหภูมิสูงขึ้นจะมีค่า WRC เพิ่มขึ้น ซึ่งให้แบบแผนที่เหมือนกับของแป้งข้าวโพดและแป้งมันสำปะหลัง แต่จะไม่มีความแตกต่างทางสถิติ ($P > 0.05$) ของค่า WRC ของมันสำปะหลังเมื่ออุณหภูมิเพิ่มขึ้นจาก 80 เป็น 90°C นอกจากนี้จะเห็นได้ว่าแป้งเม็ดทุเรียนมีค่า WRC ต่ำ เมื่อเทียบกับแป้งมันสำปะหลังและแป้งข้าวโพดในเกือบทุกอุณหภูมิที่ทำการศึกษาในที่นี่ แสดงว่าแป้งเม็ดทุเรียนมีสมบัติการอุ้มน้ำได้ต่ำกว่าแป้งข้าวโพดและแป้งมันสำปะหลังโดยเฉพาะที่อุณหภูมิสูง ๆ

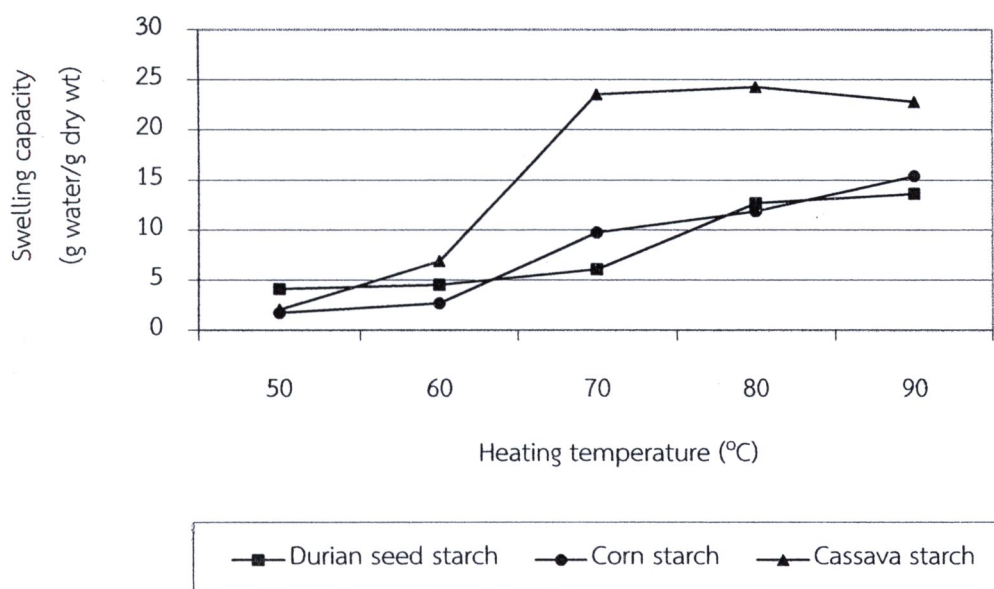


รูปที่ 6 สมบัติความสามารถในการอุ้มน้ำของแป้งเม็ดทุเรียน แป้งมันสำปะหลังและแป้งข้าวโพดที่อุณหภูมิ $60\text{-}90^{\circ}\text{C}$

ความจุของการพองตัว (Swelling capacity; SWC)

ความจุของการพองตัวของเม็ดแป้งแสดงถึงการกระทำที่เกิดขึ้นบนโซ่แป้งระหว่างส่วนที่เป็นอัมอร์ฟัส (amorphous) และผลึก (crystalline) (Takizawa et al., 2004) การละลายของอะไมโลสในระหว่างกระบวนการเจลาตินไซเซชันทำให้เกิดการพองตัวของแป้ง ขึ้นกับอัตราส่วนของอะไมโลส/อะไมโลเพคติน และลักษณะของอะไมโลส และอะไมโลเพคตินในเทอมของการกระจายของน้ำหนักโมเลกุล ดีกรีและความยาวของโซ่กิ่ง และคอนฟอร์เมชัน (conformation) (Hoover, 2001)

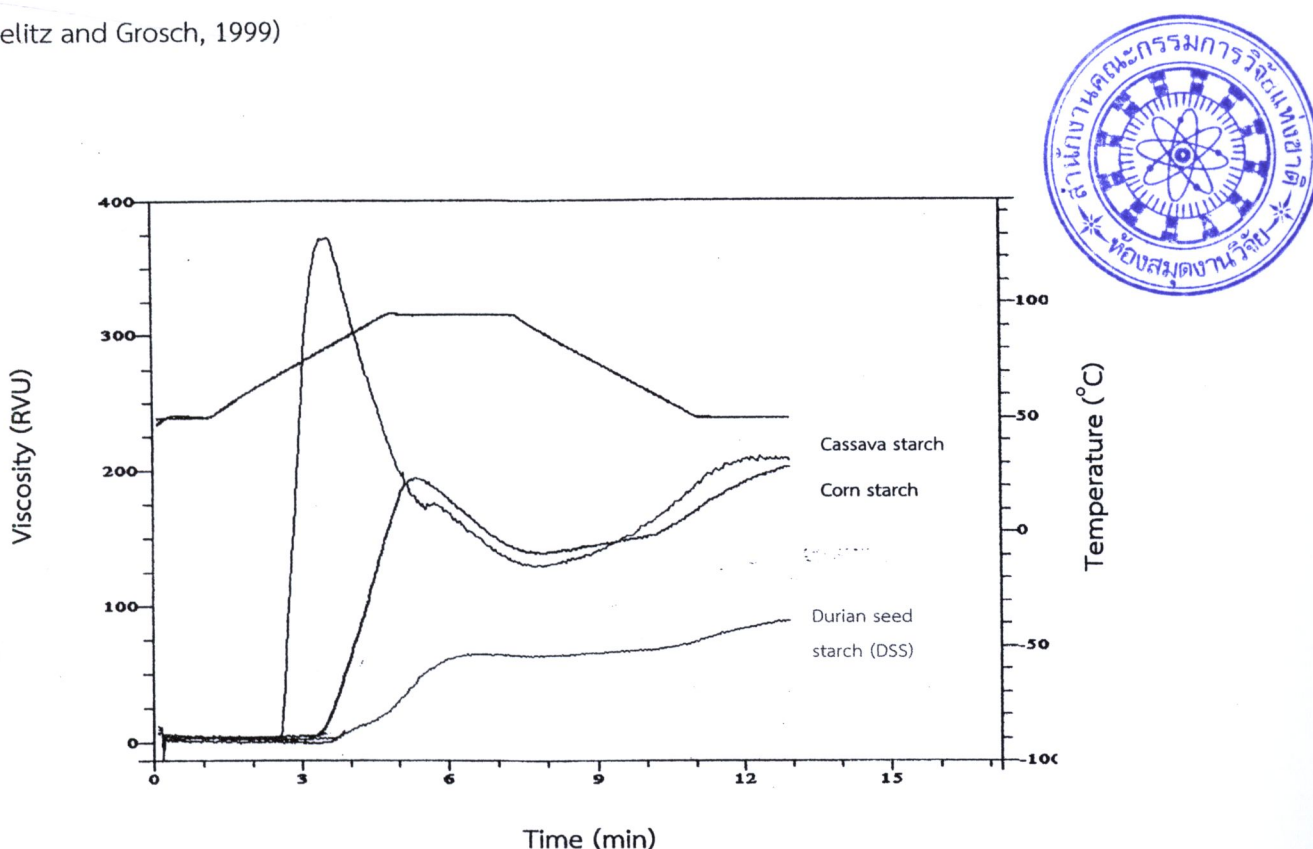
รูปที่ 7 แสดงแบบแผนของความจุการพองตัวของแป้งเม็ดทุเรียน แป้งข้าวโพด และแป้งมันสำปะหลัง ในสภาวะอุณหภูมิสูงแป้งทั้งสามชนิดจะมีการพองตัวเพิ่มมากขึ้น ซึ่งแนวโน้มดังกล่าวพบได้เช่นกันในแป้งจากพืชชนิดอื่น เช่น Okina (Sanchez-Hemandez et al., 2002) และ sorghum (Perez et al., 1997) ค่า SWC จะเพิ่มขึ้น เมื่ออุณหภูมิเพิ่มขึ้นเนื่องจากโมเลกุลของน้ำมีการเคลื่อนที่และแพร่ (mobility and diffusion) มากรขึ้น ทำให้เกิดการดูดซับน้ำจำนวนมาก (Bello-Perez et al., 2006) ค่า SWC ของแป้งเม็ดทุเรียนอยู่ในช่วง 4.15 ± 0.23 กรัมของน้ำ/กรัมของแป้งแห้งที่อุณหภูมิ 50°C และ 13.65 ± 0.21 กรัมของน้ำ/กรัมของแป้งแห้งที่อุณหภูมิ 90°C กรัมของน้ำ/กรัมของแป้ง นั่นคือมีการเพิ่มขึ้นถึง 229% เมื่ออุณหภูมิสูงขึ้นจาก 50°C เป็น 90°C อย่างไรก็ตามแป้งมันสำปะหลังมีค่า SWC มากกว่าแป้งเม็ดทุเรียนและแป้งข้าวโพดในเกือบทุกอุณหภูมิต่อ ($60\text{-}90^{\circ}\text{C}$) ($P < 0.05$) ซึ่งอาจเกี่ยวข้องกับปริมาณไขมันในแป้งที่เป็นตัวยับยั้งการพองตัวของเม็ดแป้ง



รูปที่ 7 สมบัติความจุของการพองตัวของแป้งเม็ดทุเรียน แป้งมันสำปะหลังและแป้งข้าวโพดที่อุณหภูมิ $50\text{-}90^{\circ}\text{C}$

ความหนืด (Viscosity)

เมื่อให้ความร้อนกับแป้งในสภาวะที่มีปริมาณน้ำมากเกินพอก็จะมีเม็ดแป้งจะพองตัวและในเวลาเดียวกันก็จะละลายด้วย จึงทำเกิดทั้งการพองตัวและการกระจาย (dispersion) ของอนุภาคในสารแ xenloy ของแป้งในเฟสต่อเนื่อง (continuous phase) (Bello-Perez et al., 2006) วิธีการหนึ่งที่ใช้ติดตามกระบวนการเจลาร์ต์ในเซชันที่สัมพันธ์กับอุณหภูมิได้โดยการตรวจวัดความหนืดของสารแ xenloy ของแป้ง (Belitz and Grosch, 1999) ความหนืดของแป้งสุกที่เกิดขึ้นเป็นผลมาจากการต้านทานการไหลของเม็ดแป้งขนาดใหญ่ที่อยู่ในปริมาตรทั้งหมดของสารแ xenloy (Fennema, 1985) ซึ่งจะมีค่าเพิ่มขึ้นเมื่อลดอุณหภูมิของสารแ xenloyลง อาจเนื่องจากเกิดการจัดเรียงตัวใหม่ (reorganization) ของโซ่อิเล็กทรอนิกส์ ที่ถูกทำให้ละลายในระหว่างการให้ความร้อน กระบวนการดังกล่าวทำให้เกิดการเชื่อมขวาง (crosslink) ระหว่างโมเลกุลเกิดเป็นเครือข่ายที่ยึดมั่นสำหรับนานมากเอาไว้ (Bello-Perez et al., 2006) ดังนั้นสมบัติความหนืดของแป้งสุกจึงขึ้นกับองค์ประกอบของแป้งที่อยู่ในรูปของอะไมโลสและอะไมโลเพคตินโครงสร้างของเม็ดแป้ง น้ำหนักโมเลกุลของแต่ละองค์ประกอบ ความเสถียรของพันธะภายในโมเลกุล การขยายของขอบเขตของผลึกและอสัญฐาน (crystalline and amorphous) อุณหภูมิที่ใช้ และปริมาณน้ำในสารแ xenloy (Belitz and Grosch, 1999)



รูปที่ 8 สมบัติความหนืดของแป้งสุกของแป้งเม็ดทุเรียน แป้งมันสำปะหลังและแป้งข้าวโพด

อุณหภูมิที่ทำให้เกิดแป้งสุก (pasting time) ของแป้งเม็ดทุเรียนเท่ากับ 83.80 ± 0.28 °C ซึ่งสูงกว่าเมื่อเปรียบเทียบกับแป้งข้าวโพด (77.23 ± 0.32 °C) และแป้งมันสำปะหลัง (68.28 ± 0.25 °C) ดังแสดงในตารางที่ 4 อย่างไรก็ตาม จากรูปที่ 8 จะเห็นได้ว่าแป้งเม็ดทุเรียนมีความหนืดแน่น้อยกว่าทั้งแป้งข้าวโพดและแป้งมันสำปะหลังแต่มีความคงตัวเมื่อได้รับความร้อนสูงกว่า ทั้งนี้อาจเป็นเพราะแป้งเม็ดทุเรียนมีazoleไมโลสเป็นองค์ประกอบต่ำกว่านั้นเอง ซึ่งนับเป็นข้อดีสำหรับใช้เป็นองค์ประกอบในการเตรียมพิล์มที่บริโภคได้ในขั้นตอนถัดไป นอกจากนั้นเมื่อพิจารณาค่า breakdown viscosity ของแป้งข้าวโพด (203 ± 2 RVU) และของแป้งมันสำปะหลัง (208 ± 2 RVU) ซึ่งมากกว่าของแป้งทุเรียน (91 ± 2 RVU) กว่า 2 เท่า แสดงว่าแป้งเม็ดทุเรียนมีความเสถียรต่อความร้อนและแรงตัดทางกล (mechanical shear) มากกว่าแป้งดัดแปลงทางการค้าทั้งสองดังกล่าว

เจลาตีไนเซชัน (Gelatinization)

ตารางที่ 3 แสดงอุณหภูมิранสิชัน (transition temperature; T_0 , T_p และ T_c) และค่าเอนthalpyของการเกิดเจลาตีไนเซชัน (enthalpy of gelatinization; ΔH_{gel}) ที่วิเคราะห์ด้วยเทคนิค differential scanning colorimetry (DSC) โดยให้ค่า T_0 , T_p และ T_c เท่ากับ 75.49, 82.00 and 86.77 °C ตามลำดับ ซึ่งมีค่ามากกว่าทั้งของแป้งข้าวโพดและแป้งมันสำปะหลัง ในขณะที่ให้ค่า ΔH_{gel} เท่ากับ 9.53 J/g น้อยกว่าของแป้งข้าวโพดและแป้งมันสำปะหลังคิดเป็นร้อยละ 27.18% และ 36.20% ตามลำดับ แป้งเม็ดทุเรียนมีช่วงอุณหภูมิของการเริ่มเปลี่ยนแปลง (T_0) และอุณหภูมิของการเปลี่ยนแปลงสูงสุด (T_p) ของความร้อนในการเกิดเจลาตีไนเซชันสูงกว่า แต่มีช่วงอุณหภูมิของการเกิดเจลาตีไนเซชันกว้างกว่า และใช้พลังงานในการเกิดเจลาตีไนเซชันต่ำกว่าเมื่อเปรียบเทียบกับทั้งแป้งข้าวโพดและแป้งมันสำปะหลัง

โดยทั่วไปแป้งที่มีเม็ดแป้งที่ไม่เป็นเนื้อเดียวกัน (heterogeneous granules) จะให้ช่วงเอนталปีกว้าง ความแตกต่างของอุณหภูมิของการเกิดเจลาตีไนเซชันแสดงให้เห็นถึงความแตกต่างของความสมบูรณ์ของผลึกแป้ง (starch crystals) ถ้าแป้งมีความสมบูรณ์ของผลึกในผลึกแลตติซ (crystal lattice) สูงก็จะให้อุณหภูมิของการเกิดเจลาตีไนเซชันสูงด้วย (Mukprassirt and Sajjaanantakul, 2004) ซึ่งแสดงว่าแป้งเม็ดทุเรียนมีความสมบูรณ์ของผลึกมากกว่าแป้งข้าวโพดและแป้งมันสำปะหลัง ซึ่งสอดคล้องกับการที่แป้งเม็ดทุเรียนต้องการพลังงานเจลาตีไนเซชัน (gelatinization energy) สูงกว่าเมื่อเปรียบเทียบกับแป้งทั้งสองชนิดดังกล่าว

ตอนที่ 2 การพัฒนาระบวนการทอดน้ำมันของชิ้นทุเรียนโดยใช้ฟิล์มแบ่งเม็ดทุเรียน

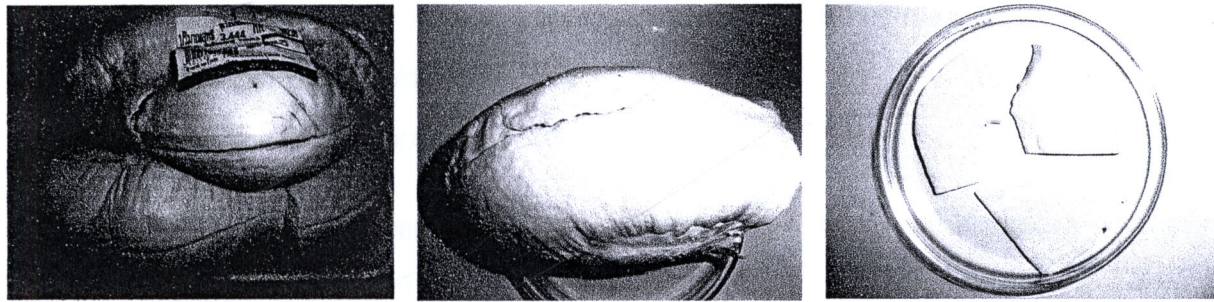
งานวิจัยในส่วนนี้ต้องการพัฒนาระบวนการทอดน้ำมันชิ้นทุเรียน (durian chip) โดยใช้ฟิล์มที่ปริโภคได้จากแบ่งเม็ดทุเรียนเป็นสารเคลือบเพื่อลดการดูดซับน้ำมัน เทคนิคการแปรรูปอาหารโดยการทอดด้วยน้ำมัน (deep-fat frying) เป็นกระบวนการกำจัดน้ำประเกทหนึ่งที่ถูกนำมาใช้อย่างกว้างขวางสำหรับผลิตอาหารแรรูปที่มีรสชาติและเนื้อสัมผัสที่เป็นเอกลักษณ์ (unique flavor and texture) อุณหภูมิสูงของน้ำมันจะช่วยให้เกิดการเปลี่ยนแปลงของเนื้อสัมผัสให้คุณลักษณะที่ดีของอาหารทอด และทำให้ลดของน้ำตาลรีดิวส์ (reducing sugar effect) จากปฏิกิริยาที่เรียกว่าการไม้เช็น (caramization) ให้ส่วนน้ำตาลของอาหาร (BeMiller and Whistler, 1996) โดยทั่วไปสามารถจำแนกน้ำมันที่เกี่ยวข้องในกระบวนการการทอดได้ 3 ชนิดคือ 1) น้ำมันโครงสร้าง (structural oil) เป็นน้ำมันที่ถูกดูดซึบในระหว่างขั้นตอนการทอด 2) น้ำมันที่ถูกแทรกซึมเข้าสู่อาหาร (penetrated surface oil) ในระหว่างที่อาหารเริ่มเย็นตัวลงหลังจากถูกนำออกจากน้ำมัน และ 3) น้ำมันที่พื้นผิว (surface oil) ซึ่งเป็นน้ำมันที่คงเหลืออยู่ที่พื้นผิวของอาหาร โดยการดูดซับน้ำมันของอาหาร (oil uptake) มักเกิดขึ้นในช่วงหลังจากการทอด (post frying period) (Sun and Moreira, 1994; Ufheil and Escher, 1996; Southern et al., 2000; Bouchon et al., 2003)

องค์ประกอบทางโภชนาและสมบัติทางกายภาพของทุเรียน

ทุเรียนมอนทองที่ใช้ในการทดลองมีลักษณะที่ปรากฏดังแสดงในรูปที่ 9 เมื่อวิเคราะห์องค์ประกอบทางโภชนาของตัวอย่างทุเรียนโดยวิธี proximate analysis ได้ผลการทดลองดังแสดงในตารางที่ 4 จะเห็นได้ว่าเนื้อทุเรียน (durian pulp) มีปริมาณความชื้นค่อนข้างสูงมากกว่าร้อยละ 60 โดยน้ำหนักเปียก และมีปริมาณเยื่อใยทယาน (crude fiber) และเถ้า (ash) สูง โดยมีค่าเท่ากับร้อยละ 3.86 และ 1.16 โดยน้ำหนักเปียก ตามลำดับ นอกจากนั้นยังมีรายงานว่าเนื้อทุเรียนมีปริมาณเยื่อไนโตรเจนอยู่ในหน่วยของร้อยละโดยน้ำหนักเปียกในรูปของ total dietary fiber (1.20%) ซึ่งมีค่ามากกว่าสัลและมังคุด โดยแบ่งออกเป็น insoluble dietary fiber (0.80%) และ soluble dietary fiber (0.40%) และประกอบด้วยแร่ธาตุหลายชนิด (ในหน่วยไมโครกรัม/100 กรัมน้ำหนักเปียก) ได้แก่ Na (2.1), K (201.2), Mg (11.23), Ca (18.32), Fe (999.1), Mn (145.2), Zn (32.3), Cu (24.1) นอกจากนั้นยังมีปริมาณโพลิฟีนอลทั้งหมด (total polyphenols) ที่เชื่อกันว่าสัมพันธ์กับฤทธิ์ต้านการเกิดอนุมูลอิสระมากกว่าสัลและมังคุดด้วย (Haruenkit et al., 2007)

ตัวอย่างชิ้นทุเรียนถูกนำมาตรวจวัดเนื้อสัมผัสด้วยเครื่อง Instron texture analyzer โดยนำตัวอย่างทุเรียนมาตัดเป็นแผ่นที่มีความหนาในช่วง 5.45 ± 0.91 มม. และความยาวของชิ้นในช่วง 23.25 ± 1.50 มม. ได้ค่าความแน่นเนื้อเท่ากับ 1.729 ± 0.582 KgF โดยทั่วไปในระหว่างการเก็บรักษาทุเรียนจะมีความแน่นเนื้อเพิ่มขึ้น ซึ่งอาจมาจากการสูญเสียความชื้น และยังมีการสูญเสียน้ำจากกระบวนการหายใจ (respiration) โดยเกิดเป็นหยดน้ำสะสมบน

แผ่นฟิล์มที่หุ้มห่อบรรจุภัณฑ์ นอกจากนั้นการเปลี่ยนแปลงสมบัติความแน่นเนื้อของทุเรียนเกี่ยวข้องกับการเพิ่มขึ้นของเพคตินที่ละลายน้ำได้ (water-soluble pectin) และ polygalacturanae enzyme activity (Imsabai et al., 2002) สำหรับสีของตัวอย่างชิ้นทุเรียนมีค่า chroma เท่ากับ 26.48 และ มีค่า hue angle (θ) เท่ากับ -85.97 ซึ่งเกิดการเปลี่ยนแปลงในระหว่างการเก็บรักษาโดยค่าความเข้มของสี (color intensity) ที่แสดงได้ด้วยค่า chroma มีค่าลดลงในขณะที่มีค่า hue angle เพิ่มขึ้น การที่ความเข้มสีลดลงเป็นมาจากการสลายตัวของเบตา-คาโรตีนที่เกี่ยวข้องกับสีของทุเรียน (Voon et al., 2006)



รูปที่ 9 ลักษณะที่ปรากฏของตัวอย่างทุเรียนหมอนทองสำหรับทดสอบน้ำมัน

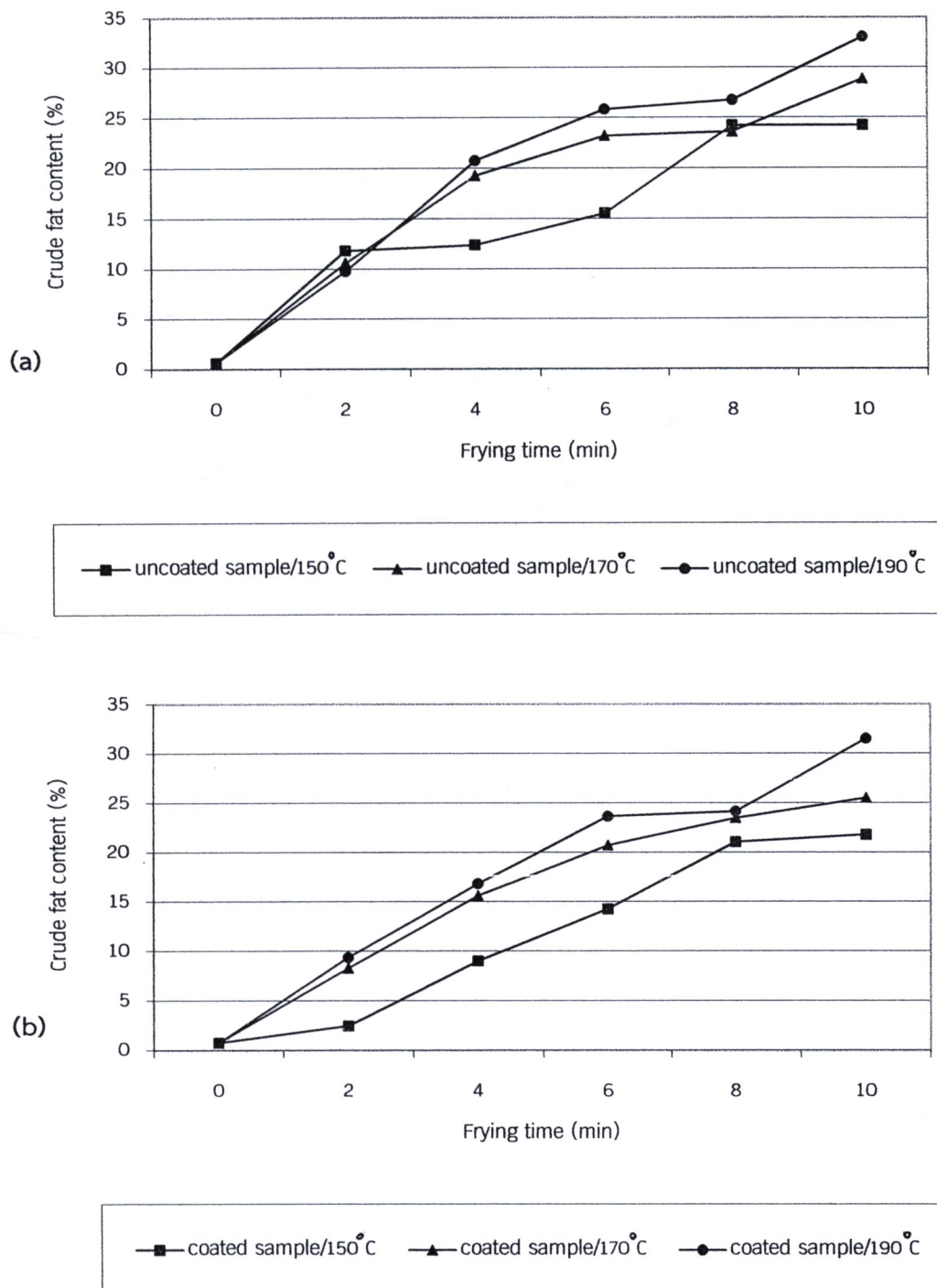
ตารางที่ 4 องค์ประกอบของตัวอย่างทุเรียนหมอนทอง

องค์ประกอบ/สมบัติของทุเรียน	ร้อยละโดยน้ำหนักของตัวอย่างเปียก (%)
ปริมาณความชื้น (moisture content)	61.89±1.25
ปริมาณไขมันหยาบ (crude fat content)	0.63±0.01
ปริมาณโปรตีนหยาบ (crude protein content)	1.98±0.12
ปริมาณเดาทั้งหมด (total ash content)	1.16±0.11
ปริมาณเยื่อใยหยาบ (crude fiber content)	3.86±0.02
สี (color)	
L*	86.47±0.05
a*	-1.86±0.03
b*	26.41±0.01

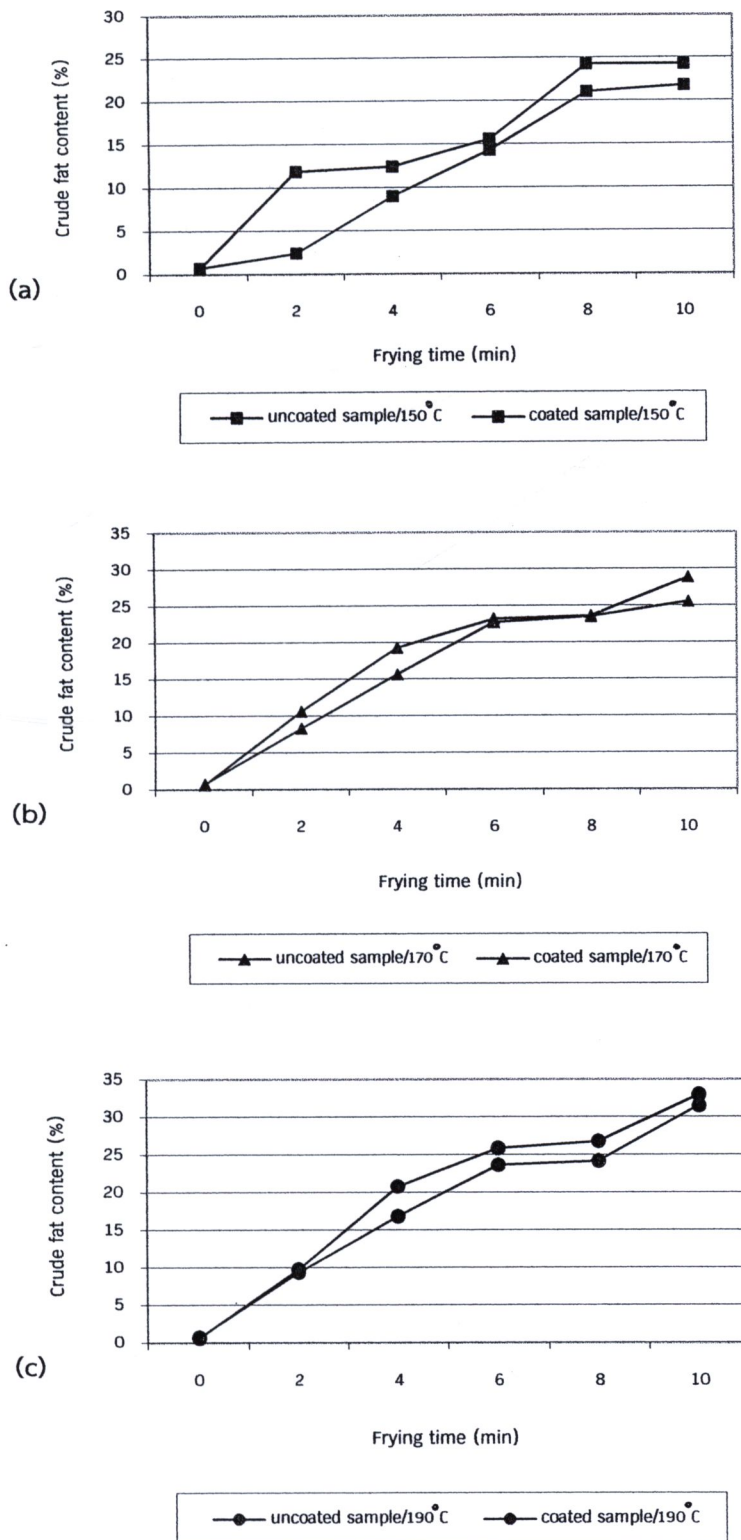
ผลของอุณหภูมิน้ำมันที่ใช้ทอดและการเคลือบฟิล์มแป้งเม็ดทุเรียน

ในการทดลองนี้ได้เลือกศึกษาผลของอุณหภูมิที่ใช้ทอด(frying temperature) ต่อการดูดซับน้ำมันของชิ้นทุเรียน โดยใช้อุณหภูมิแตกต่างกัน 3 ระดับคือ 150, 170 และ 190 °C และเปรียบเทียบระหว่างตัวอย่างชิ้นทุเรียนที่เคลือบและไม่ได้เคลือบด้วยฟิล์มแป้งเม็ดทุเรียน โดยหลังจากนำชิ้นทุเรียนไปชุบสารละลายฟิล์ม จะวางทึ้งที่อุณหภูมิห้องเป็นเวลา 30 นาทีก่อนนำไปทอดทันที รูปที่ 10 แสดงแบบแผนของการดูดซับน้ำมันของผลิตภัณฑ์ชิ้นทุเรียนทอดโดยแสดงด้วยปริมาณไขมันหมายของผลิตภัณฑ์ที่ผ่านการทอดด้วยระยะเวลา 10 นาที จะเห็นได้ว่าให้รูปแบบของการดูดซับน้ำมันคล้ายคลึงกันในทุกอุณหภูมิที่ศึกษา และมีแนวโน้มในพิเศษทางเดียวกันทั้งตัวอย่างที่เคลือบและไม่ได้เคลือบด้วยฟิล์มแป้งเม็ดทุเรียน โดยชิ้นทุเรียนจะมีการดูดซับน้ำมันมากขึ้นเมื่อสัมผัสน้ำมันนานขึ้น ซึ่งการดูดซับน้ำมันของอาหารมาจาก capillary force (Pinthus and Saguy; 1993)

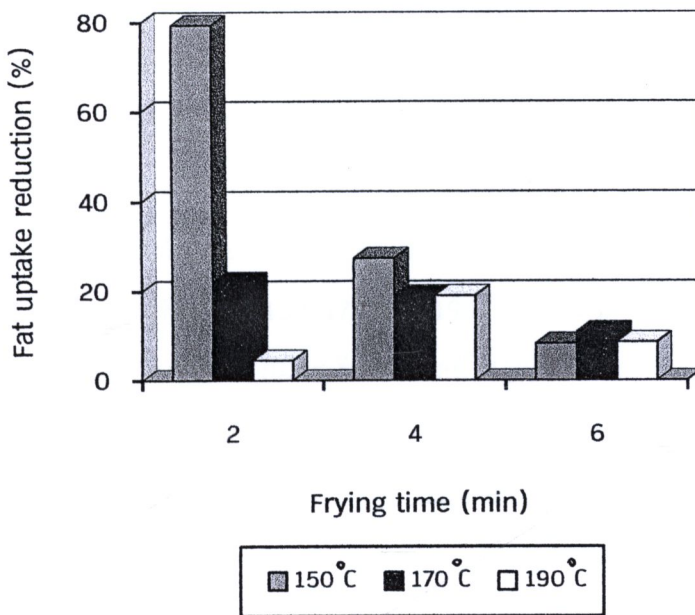
ในช่วง 2 นาทีแรกของการทอดของตัวอย่างที่ไม่ได้เคลือบฟิล์ม (รูปที่ 10) พบร่วมกับความแตกต่างทางสถิติ ($P>0.05$) ของการดูดซับน้ำมันเมื่อใช้อุณหภูมิในการทอดแตกต่างกัน แต่เมื่อใช้เวลาทอด 4 และ 6 นาทีพบว่า ผลิตภัณฑ์ที่ทอดที่อุณหภูมิ 150 °C จะดูดซับน้ำมันน้อยกว่าเมื่อทอดที่ 170 และ 190 °C ตามลำดับ นั่นคือมีความแตกต่างกันบ้างของปริมาณน้ำมันสุดท้ายในผลิตภัณฑ์และแบบแผนการกระจายของผลิตภัณฑ์เมื่อใช้อุณหภูมิน้ำมันแตกต่างกัน อย่างไรก็ตามมีปัจจัยหลายประการที่มีผลต่อการดูดซับน้ำมัน ได้แก่ คุณภาพของน้ำมัน เวลาและอุณหภูมิที่ใช้ทอด การจัดการเบื้องต้น (pretreatment) ที่ใช้ และองค์ประกอบและลักษณะของอาหาร เป็นต้น (Freitas et al., 2009) จากรูปที่ 11 จะเห็นผลของการเคลือบฟิล์มแป้งเม็ดทุเรียนต่อการดูดซับน้ำมันที่อุณหภูมิ 150 °C ได้ชัดเจนกว่าที่อุณหภูมิที่สูงกว่า (170 และ 190 °C) เมื่อใช้อุณหภูมิของน้ำมันที่ใช้ทอดที่ 150 °C ชิ้นทุเรียนที่เคลือบฟิล์มสามารถลดการดูดซับน้ำมันได้โดยเฉพาะในช่วงแรกของการทอด โดยสามารถลดการดูดซับน้ำมันได้มากถึงร้อยละ 79.36 และ 27.43 เมื่อใช้เวลาทอด 2 และ 4 นาที ตามลำดับ เมื่อเปรียบเทียบกับตัวอย่างที่ไม่ได้เคลือบฟิล์ม และสามารถลดการดูดซับน้ำมันได้กิ่ว่าในทุกช่วงเวลา 10 นาทีของการทอด ซึ่งแสดงให้เห็นว่า ฟิล์มแป้งเม็ดทุเรียนที่ใช้เคลือบผิวของชิ้นทุเรียนทำหน้าที่เป็นตัวกีดกันการเคลื่อนย้ายของน้ำมันเข้าสู่อาหาร เมื่อเวลาที่ใช้ทอดเพิ่มขึ้นก็จะดูดซับน้ำมันได้เพิ่มขึ้นในทั้งสองทรีตเมนต์ อย่างไรก็ตามความสามารถในการลดการดูดซับน้ำมันของตัวอย่างที่เคลือบฟิล์มจะลดลงเมื่อระยะเวลาในการทอดเพิ่มขึ้นและเมื่อใช้อุณหภูมิน้ำมันสูงขึ้น ซึ่งจะเห็นได้ชัดเจนใน 2 นาทีแรกของการทอด แต่ความแตกต่างจะลดลง และความสามารถในการลดการดูดซับน้ำมันที่ทั้ง 3 อุณหภูมิก็ไม่มีความแตกต่างทางสถิติ ($P>0.05$) หลังจากเวลา 6 นาทีของการทอดแล้ว (รูปที่ 12)



รูปที่ 10 การเปลี่ยนแปลงปริมาณไขมันทรุดของผลิตภัณฑ์ชิ้นทุเรียนทอดที่ (a) ไม่ได้เคลือบ และ (b) เคลือบด้วยพิล์มแป้งเม็ดทุเรียนเมื่อหอดด้วยน้ำมันที่อุณหภูมิแตกต่างกัน 3 ระดับ คือ 150, 170 และ 190 °C เป็นเวลา 10 นาที



รูปที่ 11 การเปลี่ยนแปลงปริมาณไขมันทรุดของตัวอย่างชิ้นทุเรียนทอดที่เคลือบและไม่ได้เคลือบด้วยพิล์มแบ่งเม็ดทุเรียนในระหว่างการทอดน้ำมันที่อุณหภูมิ (a) 150, (b) 170 และ (c) 190°C

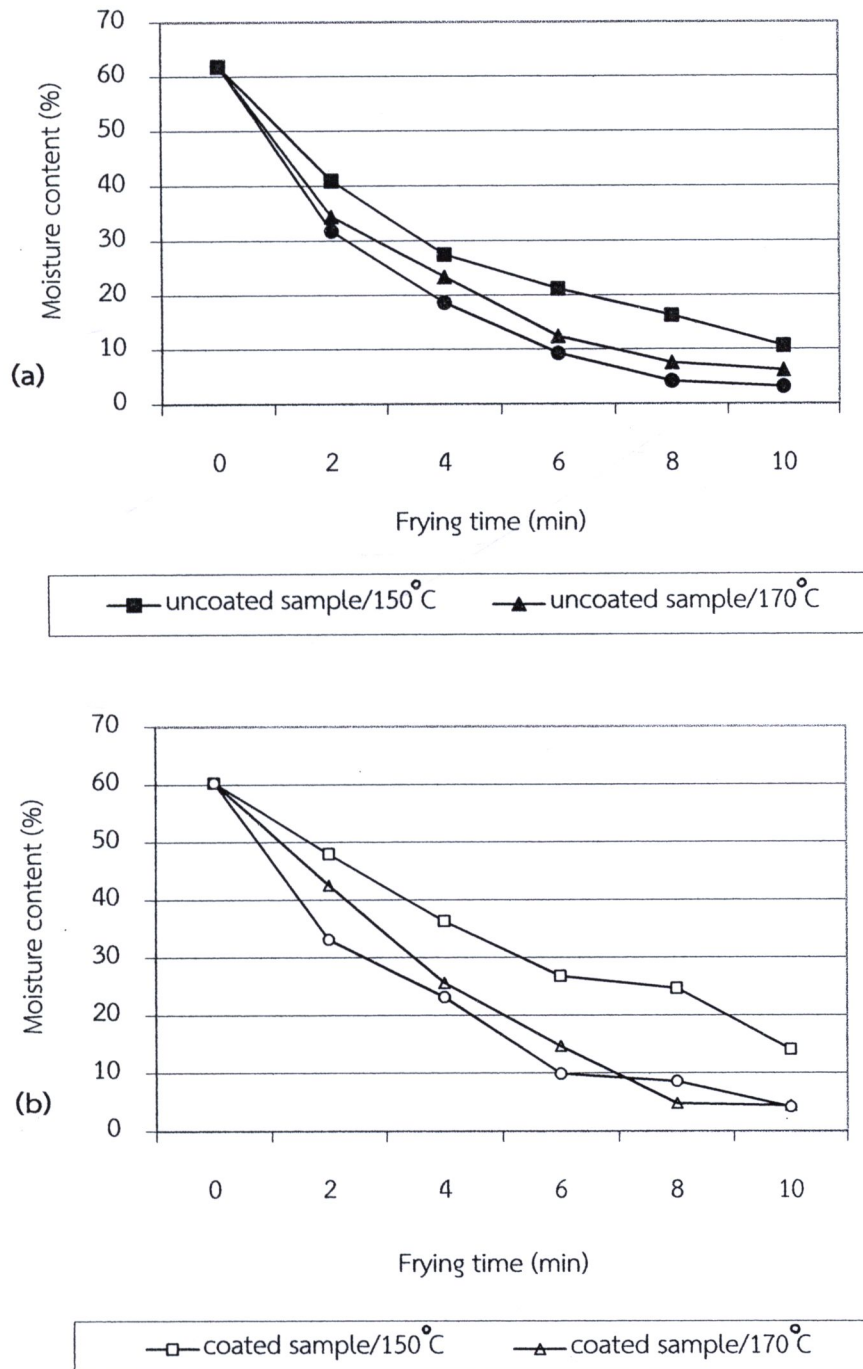


รูปที่ 12 เปรียบเทียบความสามารถในการลดการดูดซับน้ำมันเมื่อเคลือบด้วยแป้งเม็ดทุเรียนในช่วง 6 นาทีแรกของการทอดน้ำมันที่อุณหภูมิแตกต่างกัน 3 ระดับ คือ 150, 170 และ 190 °C

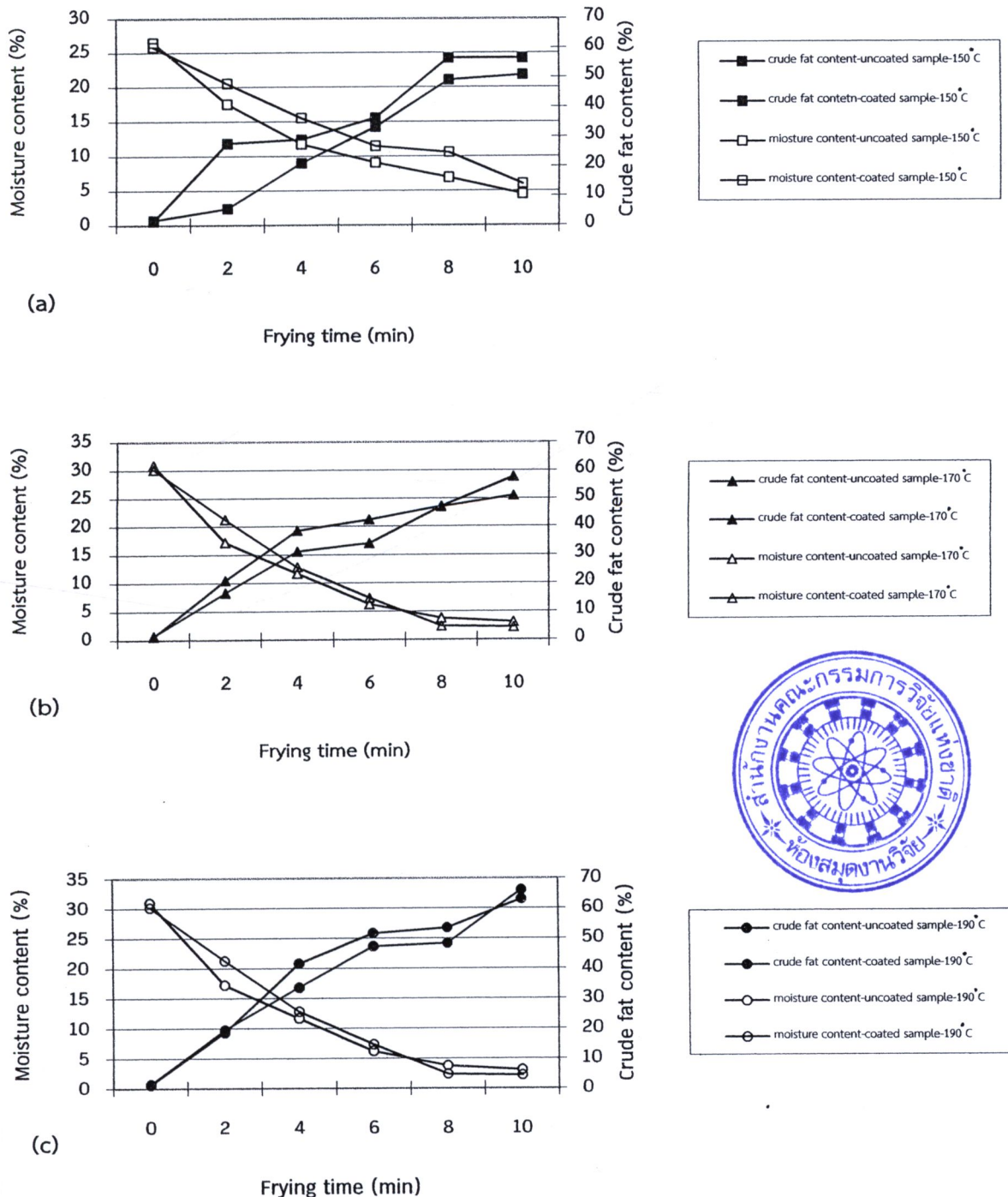
Moreira et al. (1997) อธิบายกลไกการดูดซับน้ำมันในผลิตภัณฑ์ tortilla chips ว่าในช่วง 10-15 วินาที แรกของการทอด แป้งจะเกิดกระบวนการเจล化ตัวในเชื้อน้ำและไอน้ำ (water vapor) จะออกจากผลิตภัณฑ์ทันที ทำให้เกิดการขยายตัวของ capillary pore ในช่วงนี้ น้ำมันจะเข้าสู่ดีติดที่พื้นผิวของมันฝรั่งและเข้าสู่ส่วนในของผลิตภัณฑ์ด้วยโดยผ่านโซนที่เสียหาย (damage zone) ดังกล่าว หลังจากน้ำทั้งหมดถูกทำให้ระเหยหมดแล้ว อุณหภูมิของผลิตภัณฑ์จะสูงขึ้น และอัตราการดูดซับน้ำมันจะลดลงเนื่องจากการลดลงของ interfacial tension ในขณะที่ Duran et al. (2007) ศึกษากลไกการดูดซับน้ำมันของมันฝรั่งทอด (potato chips) ที่อุณหภูมิ 180 °C พบร่วมเพียง 38% ของปริมาณน้ำมันทั้งหมดเท่านั้นที่แทรกซึมเข้าไปในโครงสร้าง ในขณะที่เกือบ 62% ยังคงอยู่ที่พื้นผิวของมันฝรั่งทอด แต่เมื่อเข้าสู่ขั้นตอนการทำให้เย็น (cooling stage) หลังจากนำผลิตภัณฑ์ออกจากหม้อทอด แล้ว การกระจายของน้ำมันจะกลับกัน โดยมีประมาณ 65% ของปริมาณน้ำมันทั้งหมดจะถูกดูดซับแต่ประมาณ 35% จะอยู่ที่พื้นผิว ความแตกต่างของการกระจายของน้ำมัน (oil content distribution) ในระหว่างการทอดและการทำให้เย็นเป็นผลมาจากการลดลงของอุณหภูมิของผลิตภัณฑ์หลังจากที่ถูกนำออกมาจากหม้อทอด ลดการเกิด interfacial tension ระหว่างน้ำมันและอากาศ นอกจากนั้นเมื่อความดันภายในรูพรุนของผลิตภัณฑ์ลดลงจะทำให้เกิดการไหลเข้าของน้ำมันที่พื้นผิวเข้าสู่โครงสร้างจุลภาคของผลิตภัณฑ์อย่างรวดเร็ว

เมื่อพิจารณาการเปลี่ยนแปลงปริมาณความชื้นของผลิตภัณฑ์ชั้นทุเรียนทดสอบเมื่อหอดที่อุณหภูมิแตกต่างกัน 3 ระดับคือ 150, 170 และ 190 °C เป็นเวลา 10 นาที จากรูปที่ 13a พบว่ามีรูปแบบที่มีแนวโน้มตรงกันข้ามกับการดูดซับน้ำมัน นั่นคือปริมาณความชื้นจะลดลงเมื่อตัวอย่างสัมผัสอาหารนานขึ้น เนื่องจากเกิดการถ่ายโอนน้ำจากตัวอย่างไปสู่น้ำมัน และถ่ายโอนน้ำมันเข้าสู่ตัวอย่างในเวลาเดียวกัน และอย่างที่คาดหมายการระเหยของน้ำที่อุณหภูมน้ำมันที่ 190 °C จะมากกว่าที่ 170 และ 150 °C ตามลำดับ โดยผลิตภัณฑ์สุดท้ายเมื่อใช้เวลาหอด 10 นาที จะมีปริมาณความชื้นเท่ากับร้อยละ 10.70 ± 0.61 , 6.27 ± 0.18 และ 3.24 ± 0.06 โดยน้ำหนัก สำหรับตัวอย่างที่ไม่ได้เคลือบฟิล์มแป้งเม็ดทุเรียนที่หอดที่ 150, 170 และ 190 °C ตามลำดับ ในขณะที่ปริมาณความชื้นของผลิตภัณฑ์สุดท้ายของตัวอย่างที่เคลือบฟิล์มแป้งเม็ดทุเรียนที่หอดที่ 150, 170 และ 190 °C เมื่อใช้เวลาหอด 10 นาที (รูปที่ 13b) มีค่าเท่ากับร้อยละ 14.15 ± 0.82 , 4.45 ± 0.04 และ 4.24 ± 0.13 โดยน้ำหนัก ตามลำดับ ซึ่งมีค่ามากกว่าตัวอย่างที่ไม่ได้เคลือบฟิล์ม แสดงให้เห็นว่าฟิล์มแป้งเม็ดทุเรียนนอกจากจะทำหน้าที่เป็นตัวกีดกันการเคลื่อนที่เข้าของน้ำมันแล้วก็ยังขัดขวางการเคลื่อนที่ออกของไอน้ำด้วย นอกจากนี้ยังพบว่าในช่วงแรกของการหอดตัวอย่างจะสูญเสียความชื้นอย่างรวดเร็วเนื่องจากการระเหยของความชื้นที่พื้นผิวของตัวอย่าง เมื่อเวลาการหอดเพียง 1 นาที น้ำหนักของตัวอย่างลดลง 0.63% เป็น 24.26% และมีปริมาณความชื้นเริ่มต้นเท่ากับ 61.89% ลดลงเหลือ 10.70% ในขณะที่ตัวอย่างที่เคลือบด้วยฟิล์ม มีการเปลี่ยนแปลงของปริมาณไขมันหายใจเริ่มต้น 0.75% เป็น 21.81% และมีปริมาณความชื้นเริ่มต้นเท่ากับ 60.30% ลดลงเหลือ 14.15% คิดเป็นอัตราส่วนของปริมาณน้ำมันที่ถูกดูดซับกับปริมาณความชื้นที่สูญเสียได้เท่ากับ 1: 2.17 และ 1:2.19 สำหรับตัวอย่างที่ไม่ได้เคลือบและเคลือบฟิล์มตามลำดับ จะเห็นได้ว่าในกรณีน้ำมันที่ถูกดูดซับ (oil uptake) มีค่าน้อยกว่าปริมาณความชื้นที่สูญเสีย (water loss) ซึ่งสอดคล้องกับผลการศึกษาของ Bhat and Bhattacharya (2001) แต่ให้ผลตรงกันข้ามกับการศึกษาของ Math et al. (2004) เนื่องจากชนิดของตัวอย่างและปริมาณความชื้นเริ่มต้นที่แตกต่างกัน อย่างไรก็ตามการที่อัตราส่วนของทั้งสองทรีตเมนต์ (เคลือบและไม่ได้เคลือบฟิล์ม) ไม่ได้แตกต่างกันทางสถิติ ($P > 0.05$) แสดงให้เห็นว่าการใช้ฟิล์มแป้งเม็ดทุเรียนเคลือบผิวตัวอย่างก่อนหอดไม่ได้มีผลกระทบต่อกลไกโดยรวมของการหอดเพียงแต่ช่วยชะลอ/ยับยั้งการเคลื่อนที่ของความชื้นและน้ำมันเท่านั้น

จากรูปที่ 14 จะเห็นว่าผลิตภัณฑ์ชั้นทุเรียนหอดเป็นเวลา 10 นาทีที่อุณหภูมิ 150 °C มีการเปลี่ยนแปลงของปริมาณไขมันหายใจจากเริ่มต้น 0.63% เป็น 24.26% และมีปริมาณความชื้นเริ่มต้นเท่ากับ 61.89% ลดลงเหลือ 10.70% ในขณะที่ตัวอย่างที่เคลือบด้วยฟิล์ม มีการเปลี่ยนแปลงของปริมาณไขมันหายใจจากเริ่มต้น 0.75% เป็น 21.81% และมีปริมาณความชื้นเริ่มต้นเท่ากับ 60.30% ลดลงเหลือ 14.15% คิดเป็นอัตราส่วนของปริมาณน้ำมันที่ถูกดูดซับกับปริมาณความชื้นที่สูญเสียได้เท่ากับ 1: 2.17 และ 1:2.19 สำหรับตัวอย่างที่ไม่ได้เคลือบและเคลือบฟิล์มตามลำดับ จะเห็นได้ว่าในกรณีน้ำมันที่ถูกดูดซับ (oil uptake) มีค่าน้อยกว่าปริมาณความชื้นที่สูญเสีย (water loss) ซึ่งสอดคล้องกับผลการศึกษาของ Bhat and Bhattacharya (2001) แต่ให้ผลตรงกันข้ามกับการศึกษาของ Math et al. (2004) เนื่องจากชนิดของตัวอย่างและปริมาณความชื้นเริ่มต้นที่แตกต่างกัน อย่างไรก็ตามการที่อัตราส่วนของทั้งสองทรีตเมนต์ (เคลือบและไม่ได้เคลือบฟิล์ม) ไม่ได้แตกต่างกันทางสถิติ ($P > 0.05$) แสดงให้เห็นว่าการใช้ฟิล์มแป้งเม็ดทุเรียนเคลือบผิวตัวอย่างก่อนหอดไม่ได้มีผลกระทบต่อกลไกโดยรวมของการหอดเพียงแต่ช่วยชะลอ/ยับยั้งการเคลื่อนที่ของความชื้นและน้ำมันเท่านั้น



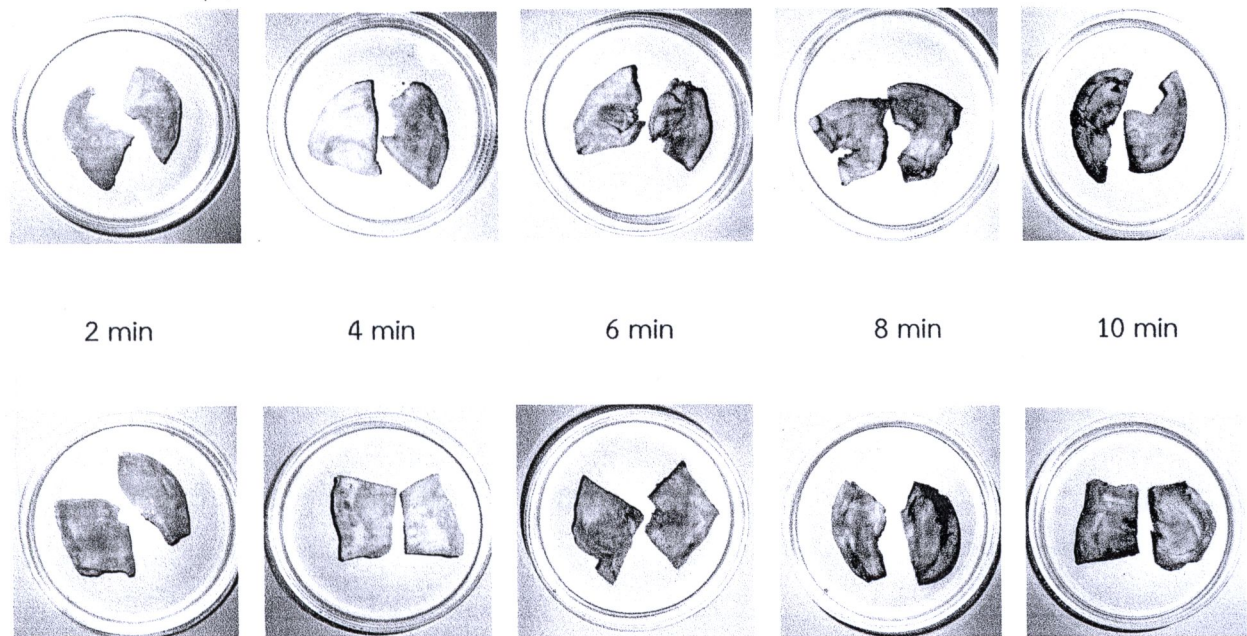
รูปที่ 13 การเปลี่ยนแปลงปริมาณความชื้นของตัวอย่างชิ้นทุเรียนทอดที่ (a) ไม่ได้เคลือบ และ (b) เคลือบด้วยพิล์มแป้งเม็ดทุเรียนในระหว่างการทอดน้ำมันที่อุณหภูมิแตกต่างกัน 3 ระดับ คือ 150, 170 และ 190 °C เป็นเวลา 10 นาที



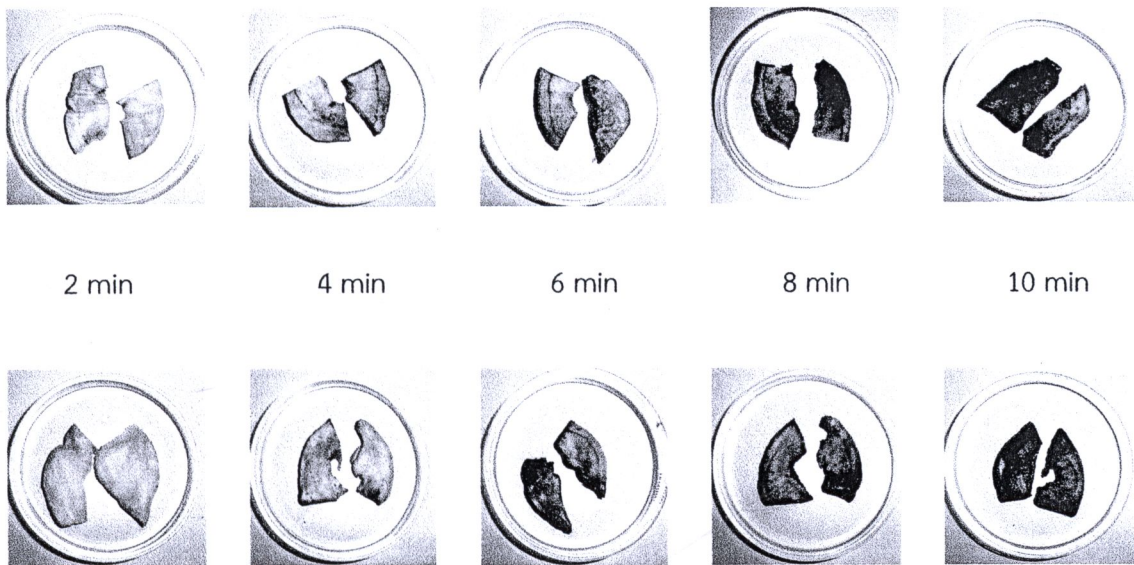
รูปที่ 14 ความสัมพันธ์ระหว่างการเปลี่ยนแปลงของปริมาณไขมันทรุดและปริมาณความชื้นของตัวอย่างชิ้นทุเรียนทอตที่ไม่ได้เคลือบและเคลือบด้วยพิล์มแป้งเม็ดทุเรียนในระหว่างการทอดน้ำมันที่อุณหภูมิ (a) 150, (b) 170 และ (c) 190 °C

อย่างไรก็ตาม Duran et al. (2007) ศึกษาผลของการดูดซับน้ำมันของมันฝรั่งทอดโดยใช้ฟิล์มที่บริโภคได้ hydroxypropylmethylcellulose (HPMC) เคลือบก่อนนำไปทอดน้ำมันที่อุณหภูมิ 180°C พบว่าจากจะมีช่วยลดการดูดซับน้ำมันแล้ว ผลิตภัณฑ์ที่ได้ยังมีปริมาณน้ำมันมากกว่าตัวอย่างที่ไม่ได้เคลือบฟิล์ม การที่ผลของการใช้ HPMC แตกต่างจากผลการใช้ฟิล์มแป้งเม็ดทุเรียนในงานวิจัยนี้ เนื่องจากประสิทธิภาพของฟิล์มที่บริโภคได้ขึ้นกับองค์ประกอบทางเคมี โครงสร้างจุลภาค และสมบัติของผลิตภัณฑ์ที่ใช้ (Garcia et al., 2002) นอกจากนั้นผลการลดการดูดซับน้ำมันในอาหารทอดยังขึ้นกับชนิดของฟิล์ม เนื่องจากการแพร่ผ่านของน้ำมันไปที่อาหารขึ้นกับการละลายได้ของน้ำมันในฟิล์มด้วย ซึ่งสัมพันธ์กับความหนาของฟิล์ม (Freitas et al., 2009) และการเคลือบที่มีรูปแบบเดียวกัน (uniform) ทั้งพื้นผิวของตัวอย่างจะจำกัดการถ่ายโอนมวล (mass transfer) ได้ดี (Huse et al., 1998)

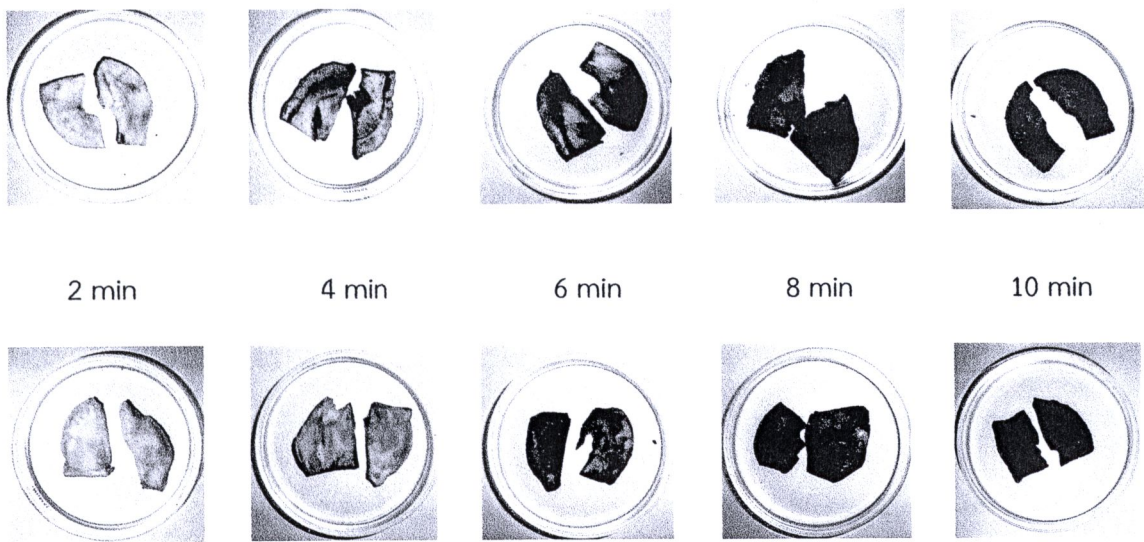
อุณหภูมิสูงของน้ำมันที่ใช้ทอดทำให้เกิดการเปลี่ยนแปลงของเนื้อสัมผัสและสีน้ำตาลที่พื้นผิวของผลิตภัณฑ์แสดงลักษณะที่ปรากฏของผลิตภัณฑ์ขึ้นทุเรียนทอดในรูปที่ 15-17 เมื่อพิจารณาด้วยตาเปล่าจะเห็นได้ว่าตัวอย่างที่เคลือบด้วยฟิล์มแป้งเม็ดทุเรียนจะมีความเข้ม (0dry) มากกว่าและมีสีน้ำตาลอ่อนกว่าตัวอย่างที่ไม่ได้เคลือบฟิล์มเมื่อใช้อุณหภูมิทอดเดียวกันในทุกช่วงเวลาที่ใช้ทอด สอดคล้องกับค่าพารามิเตอร์สี (color parameter) ที่เป็นพังก์ชันกับระยะเวลาที่ใช้ทอด (รูปที่ 18) โดยผลิตภัณฑ์ที่ผ่านการทอดนานขึ้นจะมีค่า L^* และ b^* ลดลงในขณะที่มีค่า a^* เพิ่มขึ้น ในตัวอย่างทั้งที่เคลือบและไม่เคลือบ แต่ตัวอย่างที่เคลือบฟิล์มแป้งเม็ดทุเรียนจะมีความสว่างมากกว่า (L มากกว่า)



รูปที่ 15 ลักษณะที่ปรากฏของขันทุเรียนทอดที่อุณหภูมน้ำมัน 150°C เป็นเวลา 2, 4, 6, 8, 10 นาที เมื่อ รูปบน เป็นตัวอย่างที่ไม่ได้เคลือบฟิล์ม และ รูปล่าง เป็นตัวอย่างที่เคลือบด้วยฟิล์มแป้งเม็ดทุเรียนก่อนนำไปทอดน้ำมัน

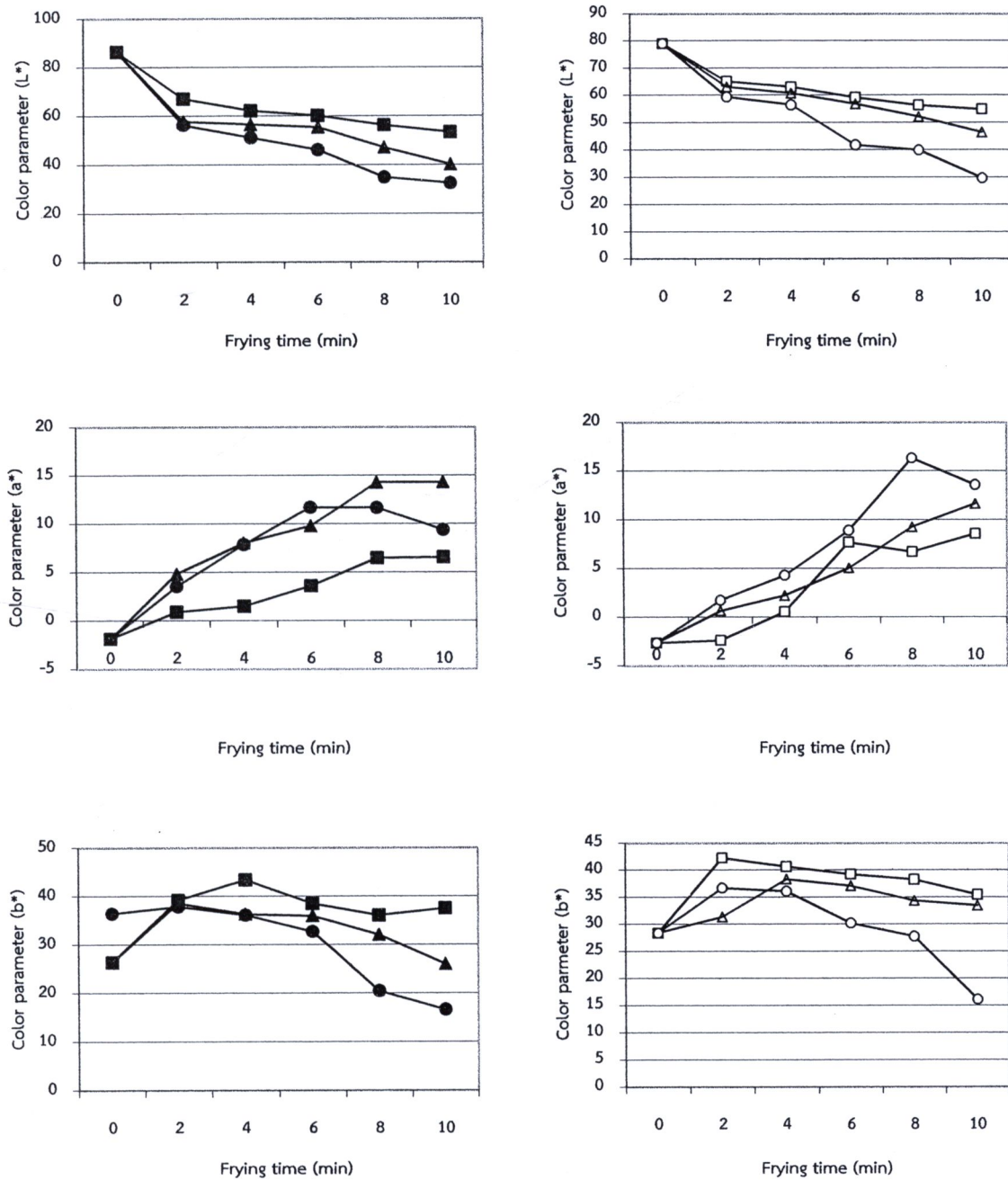


รูปที่ 16 ลักษณะที่ปรากฏของขันทุเรียนทอดที่อุณหภูมิน้ำมัน 170°C เป็นเวลา 2, 4, 6, 8, 10 นาที เมื่อ รูปบน เป็นตัวอย่างที่ไม่ได้เคลือบพิล์ม และรูปล่างเป็นตัวอย่างที่เคลือบด้วยพิล์มแป้งเม็ดทุเรียนก่อนนำไปทอดน้ำมัน



รูปที่ 17 ลักษณะที่ปรากฏของขันทุเรียนทอดที่อุณหภูมิน้ำมัน 190°C เป็นเวลา 2, 4, 6, 8, 10 นาที เมื่อ รูปบน เป็นตัวอย่างที่ไม่ได้เคลือบพิล์ม และรูปล่างเป็นตัวอย่างที่เคลือบด้วยพิล์มแป้งเม็ดทุเรียนก่อนนำไปทอดน้ำมัน





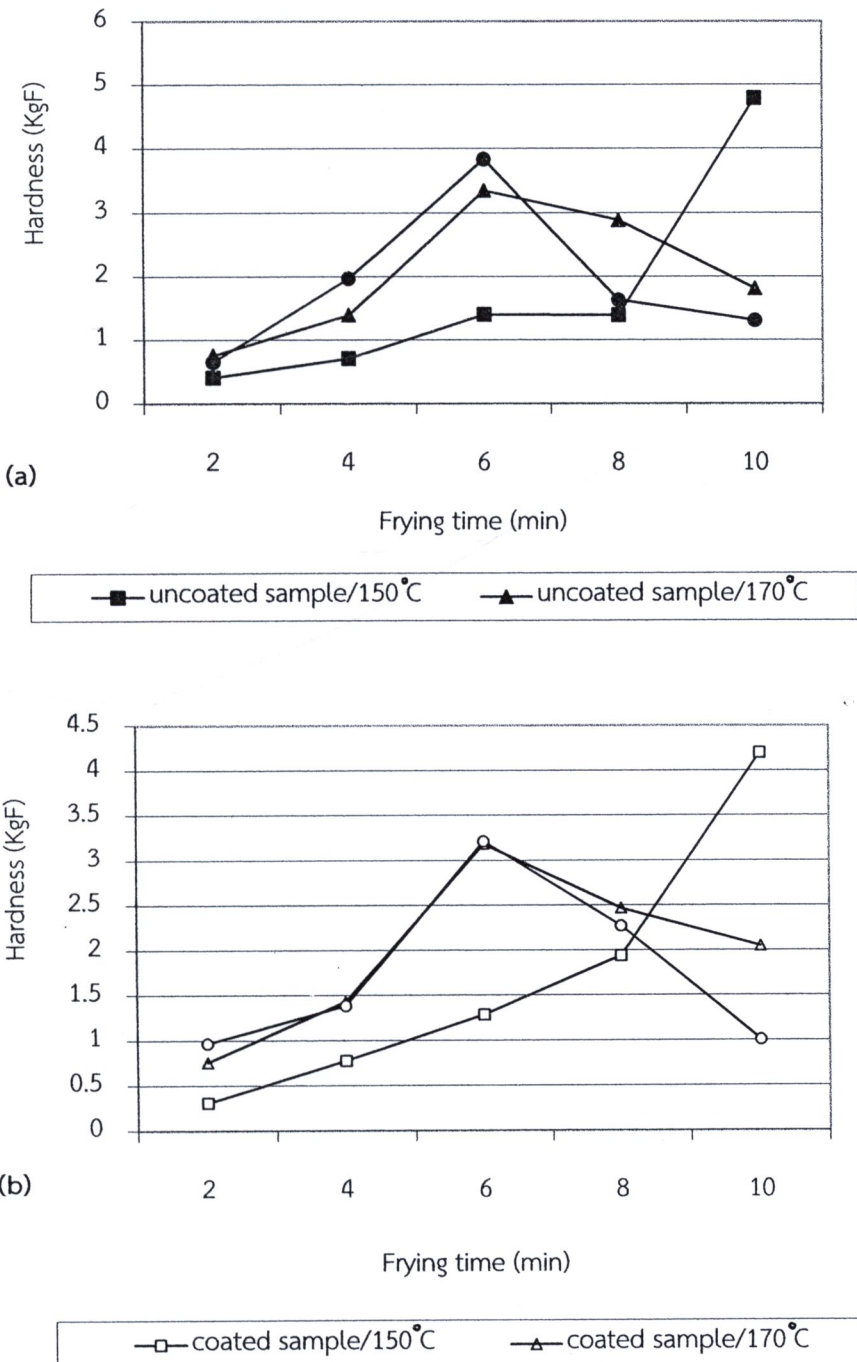
รูปที่ 18 การเปลี่ยนแปลงค่าพารามิเตอร์สี (L^* , a^* และ b^*) ของตัวอย่างข้าวทุเรียนทอดที่ (a) ไม่ได้เคลือบ และ (b) เคลือบด้วยฟิล์มแป้งเม็ดทุเรียนในระหว่างการทอดน้ำมันที่อุณหภูมิต่างกัน 3 ระดับ คือ 150, 170 และ 190 °C เป็นเวลา 10 นาที สัญลักษณ์ ■, ▲, ● แสดงถึงตัวอย่างที่ไม่ได้เคลือบฟิล์มที่ทอดที่อุณหภูมิ 150, 170 และ 190 °C ตามลำดับ และสัญลักษณ์ □, ○, Δ แสดงถึงตัวอย่างที่เคลือบฟิล์มที่ทอดที่อุณหภูมิ 150, 170 และ 190 °C ตามลำดับ

ตารางที่ 5 สมบัติทางด้านสีและเนื้อสัมผัสของชิ้นทุเรียนทอดที่อุณหภูมิ 150°C ของตัวอย่างที่เคลือบและไม่ได้เคลือบด้วยพิล์มแป้งเม็ดทุเรียน

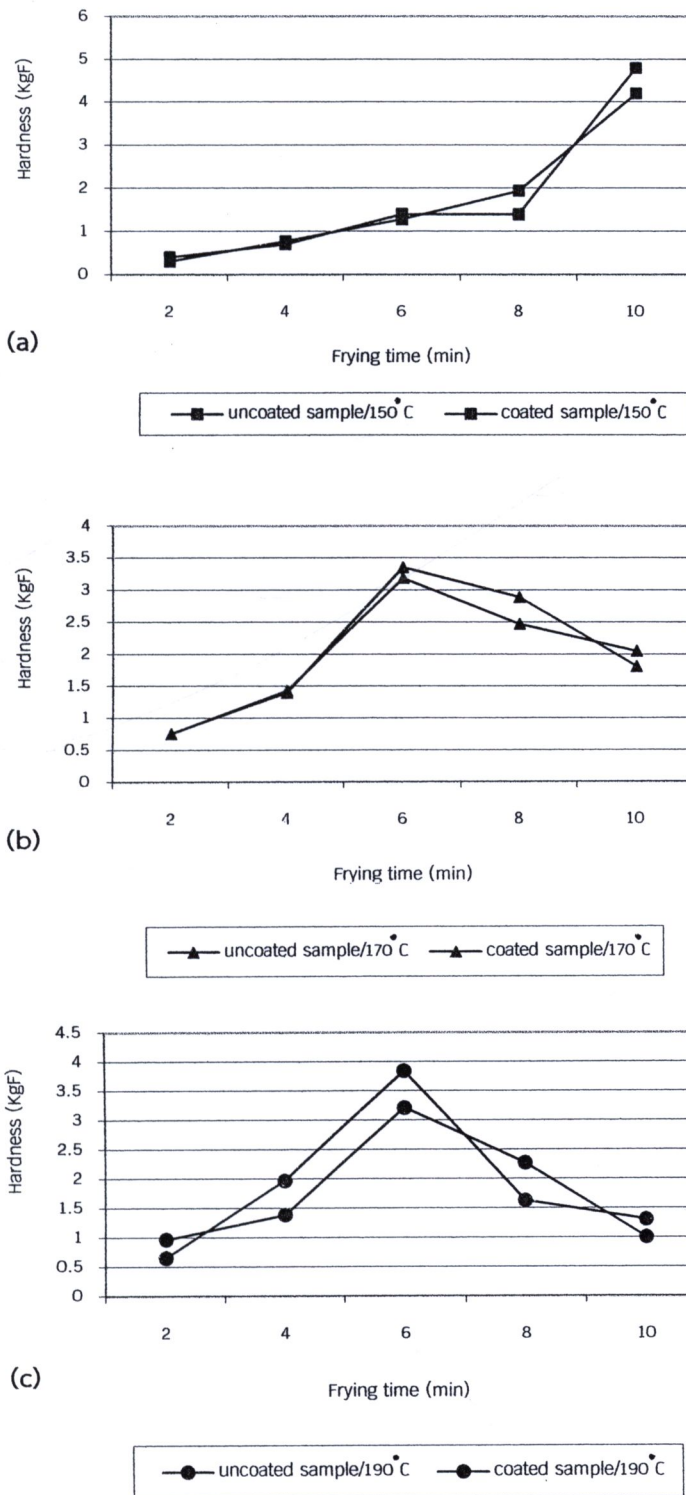
สมบัติ	เวลาที่ใช้ทอด (นาที)									
	ตัวอย่างที่ไม่ได้เคลือบพิล์ม					ตัวอย่างที่เคลือบพิล์ม				
	2	4	6	8	10	2	4	6	8	10
สีผิว										
L*	67.06	62.21	60.20	56.34	53.44	65.22	63.14	59.26	56.40	54.94
a*	0.93	1.52	3.62	6.51	6.61	-2.40	0.55	7.69	6.73	8.57
b*	39.24	43.44	38.55	36.11	37.57	42.29	40.69	39.29	38.31	35.51
Hue										
เนื้อสัมผัส										
Hardness (KgF)	0.405 ^a ± 0.174	0.776 ^a ± 0.475	1.407 ^b ± 0.300	1.396 ^b ± 0.154	4.797 ^c ± 1.298	0.309 ^A ± 0.142	0.712 ^{AB} ± 0.154	1.286 ^B ± 0.507	1.342 ^B ± 0.364	4.201 ^C ± 1.023

สัญลักษณ์ a และ b (A และ B) บอกถึงความแตกต่างอย่างมีนัยสำคัญที่ระดับความเชื่อมั่น 95% ($P<0.05$) ของข้อมูลความแข็งของตัวอย่างที่ไม่ได้เคลือบพิล์ม (เคลือบพิล์ม) เมื่อใช้เวลาทอด 2, 4, 6, 8 และ 10 นาที

เมื่อพิจารณาเนื้อสัมผัสของผลิตภัณฑ์ชิ้นทุเรียนทอดที่ทอดด้วยน้ำมันที่อุณหภูมิ 150°C (ตารางที่ 5) พบร้า เมื่อใช้เวลาทอดเพิ่มขึ้น ผลตอบแทนที่จะมีเนื้อสัมผัสที่แสดงด้วยค่าความแข็ง (hardness) เพิ่มขึ้น โดยผลิตภัณฑ์ที่ใช้ระยะเวลาทอด 10 นาทีจะมีความแข็งมากกว่าผลิตภัณฑ์ที่ใช้เวลาทอด 2 นาทีเท่ากับ 11.84 และ 13.60 เท่า สำหรับผลิตภัณฑ์ที่ไม่ได้เคลือบและเคลือบพิล์ม ตามลำดับ ตัวอย่างที่เคลือบพิล์มจะมีความแข็งน้อยกว่าตัวอย่างที่ไม่ได้เคลือบพิล์มในทุกช่วงเวลา อย่างไรก็ตามมีแนวโน้มของการเปลี่ยนแปลงความแข็งของผลิตภัณฑ์ เช่นเดียวกันทั้งสองท รีตเมนต์ อย่างไรก็ตามผลิตภัณฑ์ที่ผ่านการทอดที่อุณหภูมิ 170 และ 190°C ให้รูปแบบการเปลี่ยนแปลงของค่าความแข็งแตกต่างจากเมื่อทอดที่ 150°C ดังแสดงในรูปที่ 19 พบร้าในขณะที่ตัวอย่างที่ทอดที่ 150°C มีค่าความแข็งเพิ่มขึ้นเมื่อใช้ระยะเวลาทอดนานขึ้นจนถึง 10 นาที แต่ตัวอย่างที่ทอดที่ 170 และ 190°C กลับมีค่าความแข็งมากที่สุดเมื่อทอดเป็นเวลา 6 นาที หลังจากนั้นจะมีค่าความแข็งลดลง ทั้งนี้เนื่องจากผลิตภัณฑ์ที่ได้รีบเมรีบใหม่นั้นเอง (รูปที่ 16-17) ซึ่งไม่เกิดขึ้นในระยะเวลา 10 นาทีของการทอดที่ 150°C (รูปที่ 15) โดยจะเห็นผลของการเคลือบพิล์มต่อเนื้อสัมผัสของผลิตภัณฑ์ได้ชัดเจนในตัวอย่างที่ทอดที่ 190°C ในช่วง 4-6 นาที (รูปที่ 20c)



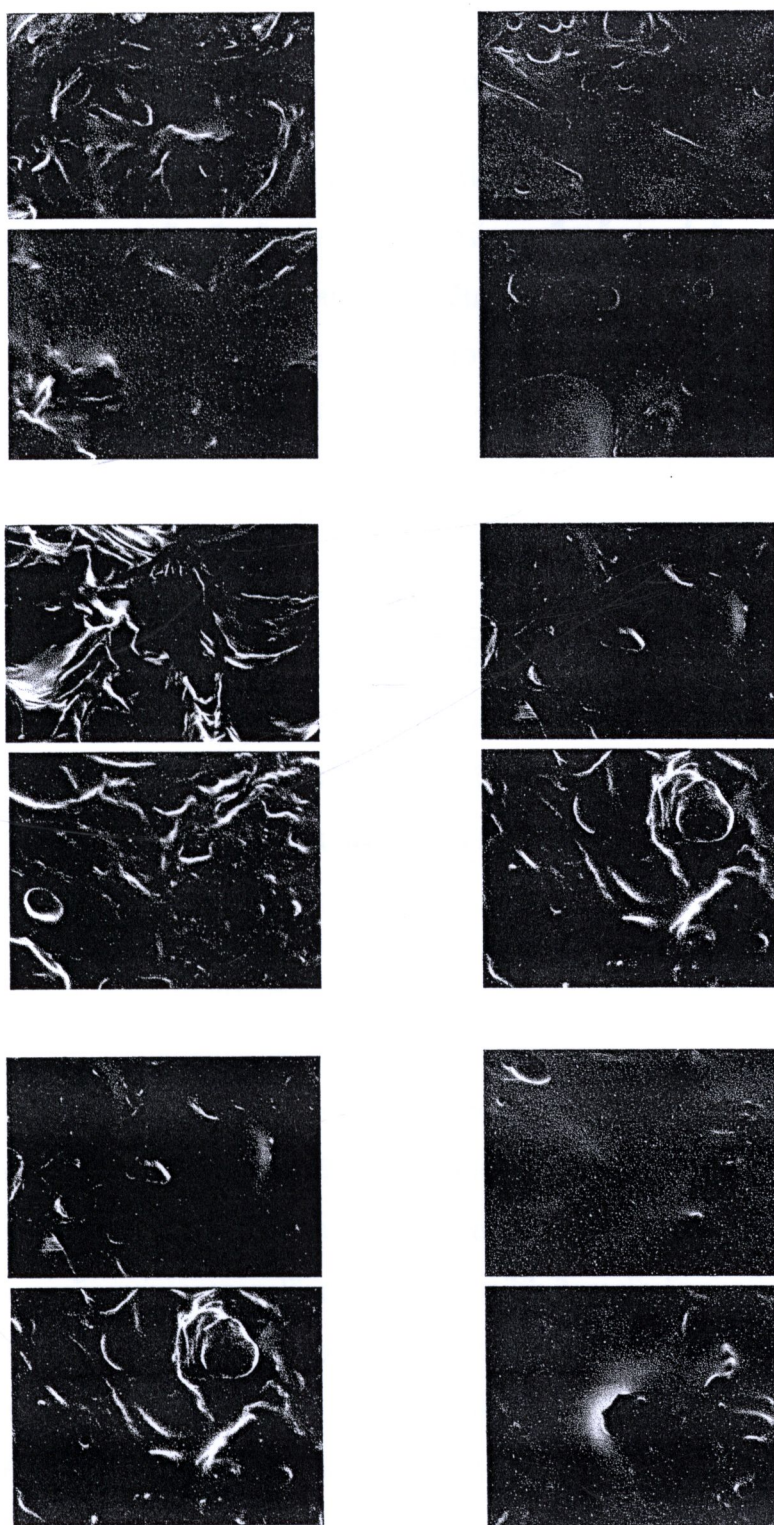
รูปที่ 19 การเปลี่ยนแปลงค่าความแข็งของตัวอย่างขันทุเรียนทอดที่ (a) ไม่ได้เคลือบ และ (b) เคลือบด้วยพิล์มแป้งเม็ดทุเรียนในระหว่างการทอดน้ำมันที่อุณหภูมิแตกต่างกัน 3 ระดับ คือ 150, 170 และ 190 °C เป็นเวลา 10 นาที



รูปที่ 20 การเปลี่ยนแปลงค่าความแข็งของตัวอย่างขึ้นทวีเรียนทดสอบที่เคลือบและไม่ได้เคลือบด้วยแป้งเม็ดทวีเรียนในระหว่างการทอดน้ำมันที่อุณหภูมิ (a) 150, (b) 170 และ (c) 190 °C เป็นเวลา 10 นาที

จากไมโครกราฟที่แสดงโครงสร้างจุลภาคของผลิตภัณฑ์ชิ้นทุเรียนหอดในรูปที่ 21 พบรการแตกออก (rupture) ของเซลล์ให้ช่องว่างขนาดใหญ่ (large void spaces) ที่เกิดจากการเคลื่อนที่ออกของน้ำในระหว่างการหอด ทั้งนี้เนื่องจากทุเรียนมีปริมาณน้ำเป็นองค์ประกอบสูง เมื่อยูไนน้ำมันที่มีอุณหภูมิสูง น้ำที่อยู่ในทุเรียนจะถูกทำให้ร้อนและถูกบีบอัดสูบน้ำมันที่ล้อมรอบมันในรูปของไอ้น้ำ (Varela et al., 1988) และน้ำมันทั้งหมดที่อยู่ที่พื้นผิวจะเข้าสู่ภายในชิ้นทุเรียนจากการควบแน่น (condensation) ของไอ้น้ำเมื่อเวลาที่นำออกจากหม้อหอด (Gamber and Rice, 1987) แต่ตัวอย่างที่เคลือบฟิล์มจะมีขนาดเซลล์เล็กกว่าและมีความสมบูรณ์ (integrity) ของเซลล์ที่เกิดจากการหดตัวในเชลล์เมมเบรนติกว่าเมื่อเปรียบเทียบกับตัวอย่างที่ไม่ได้เคลือบฟิล์มที่ใช้ระยะเวลาหอดเท่ากันในช่วงเวลาเดียวกัน และมีพื้นที่ผิวค่อนข้างเรียบกว่าและมีรูพรุนน้อยกว่า ซึ่งอาจเป็นสาเหตุที่ทำให้เกิดความแตกต่างของการดูดซับน้ำมันของทั้งสองทรีตเมนต์ โดยจะเห็นความแตกต่างได้ชัดเจนในผลิตภัณฑ์ที่ใช้เวลาหอด 2 นาที (รูป 21a)

นอกจากนั้นยังแสดงให้เห็นถึงการที่ตัวอย่างที่เคลือบฟิล์มมีการรายน้ำ (dehydration) ในระหว่างกระบวนการหอดและถูกยึดติดอยู่ที่พื้นผิว ซึ่งก็เป็นอีกหนึ่งสาเหตุที่ใช้อิบายการที่ผลิตภัณฑ์ที่เคลือบฟิล์มที่มีปริมาณน้ำมันต่ำกว่าตัวอย่างที่ไม่ได้เคลือบฟิล์ม (Suarez et al., 2008) อย่างไรก็ตามการปลดปล่อยไอ้น้ำทำให้เกิดการพอง (blister) ที่พื้นผิวด้านนอกของตัวอย่างที่เคลือบฟิล์มมากกว่าที่ไม่เคลือบฟิล์ม นอกจากนั้นในระหว่างช่วงแรกของการหอด ตัวอย่างที่เคลือบฟิล์มจะมีความชุ่มชื้น (humidity) และเกิดเจลาตินเซ็นในสภาวะที่มีปริมาณน้ำสูงกว่า ตัวอย่างที่ไม่ได้เคลือบฟิล์ม ทำให้มีโครงสร้างที่เป็นเครือข่ายที่หนาแน่น (compact) กว่าตัวอย่างที่ไม่ได้เคลือบฟิล์ม



รูปที่ 21 โครงสร้างทางจุลภาคเมื่อตรวจด้วยกล้องจุลทรรศน์แบบส่องกราดที่กำลังขยาย 500 เท่า โดยแสดงภาคตัดขวางและพื้นผิวของผลิตภัณฑ์ชิ้นที่เรียนทดสอบ (ซ้าย-ที่ไม่ได้เคลือบฟิล์ม และขวา-เคลือบฟิล์ม) ที่ทดสอบน้ำมันอุณหภูมิ 150°C เป็นเวลา (a) 2, (b) 6, และ (c) 10 นาที โดยแต่ละชุดรูปภาพประกอบด้วย บน-ภาคตัดขวาง (cross section) และล่าง-พื้นผิว (surface)

ผลของวิธีการเคลือบพิล์มแป้งเม็ดทุเรียนบนชิ้นทุเรียนและการจัดการหลังการหยอด

จากตารางที่ 6 และรูปที่ 22 จะเห็นได้ว่าวิธีการที่ใช้เคลือบพิล์มแป้งเม็ดทุเรียนมีผลต่อการดูดซับน้ำมันของผลิตภัณฑ์ชิ้นทุเรียนหยอดเข่นกัน ถึงแม้จะมีรายงานว่าการจัดการเบื้องต้นก่อนนำตัวอย่างไปหยอดด้วยการลดปริมาณความชื้นโดยใช้ไมโครเวฟ ลมร้อนจะช่วยลดปริมาณน้ำมันที่ถูกดูดซับลงได้อย่างมีนัยสำคัญในผลิตภัณฑ์หอดหลายชนิด (Gamble and Rice, 1987; Lamberg et al., 1990; Krokida et al., 2001; Moreno and Bouchon, 2008) แต่จากการทดลองพบว่าการเคลือบพิล์มแล้ววางทิ้งให้แห้งที่อุณหภูมิห้องให้ผลลดการดูดซับน้ำมันต่ำกว่า เมื่อทำให้แห้งโดยการอบที่อุณหภูมิ 60 และ 80 °C เมื่อเวลา 30 นาทีเท่ากันก่อนนำไปหยอดน้ำมันที่อุณหภูมิ 170 °C เป็นเวลา 5 นาที โดยเฉพาะเมื่อบที่ 60 °C นอกจากจะไม่ช่วยลดการดูดซับน้ำมันแล้ว ผลิตภัณฑ์ที่ได้ยังมีปริมาณไขมันมากกว่าตัวอย่างที่ไม่ได้เคลือบพิล์มด้วย นอกจากนี้เพิ่มระยะเวลาที่ใช้อบที่ 60 °C จาก 30 นาที เป็น 60 นาที ก็ไม่มีผลแตกต่างทางสถิติของปริมาณความชื้นและปริมาณไขมันหายใจ ($P>0.05$) แต่เนื่องจากความหนาของพิล์มที่เคลือบมีผลต่อสมบัติการกีดกันการผ่านเข้าออกของปริมาณความชื้นและน้ำมัน ทำให้มีเพิ่มความหนาของพิล์มโดยการใช้วิธีการขูบสารละลายพิล์มและทำให้แห้งที่ 60 °C จำนวน 2 ครั้ง พบร่วมกับความสามารถลดการดูดซับน้ำมันได้จาก 33.55% ที่ขูบสารละลายพิล์มเพียงครั้งเดียว เป็น 23.01% แต่ก็ไม่แตกต่างจากตัวอย่างที่ไม่ได้เคลือบพิล์ม ($P>0.05$)

ผลดังกล่าวขัดแย้งกับรายงานของ Martinez-Avila et al. (2010) ที่พบว่าการอบแห้งด้วยลมร้อนที่ 61 °C ก่อนนำไปหยอดน้ำมันของนักเก็ตไก่ (chicken nuggets) สามารถลดการดูดซับน้ำมันได้ถึง 50% และการศึกษาการหอดมันฝรั่งของ Moyano and Pedreschi (2006) ที่รายงานว่าการอบมันฝรั่งหลังหยอดจะช่วยลดการดูดซับน้ำมันเนื่องจากความร้อนที่ให้ดังกล่าวจะไปลดปริมาณความชื้นเริ่มต้นของตัวอย่าง ส่งผลให้ลดการถ่ายโอนน้ำมันเข้าสู่อาหาร นอกจากนั้นผลกระทบที่เกิดขึ้นจากการจัดการเบื้องต้นดังกล่าวไม่ได้เกิดจากการลดลงของปริมาณความชื้นเพียงอย่างเดียวเท่านั้น แต่มาจากการเปลี่ยนแปลงโครงสร้างที่พื้นผิวของชิ้นตัวอย่างที่ส่งผลให้มีการลดการแพร่ผ่านของน้ำมันที่พื้นผิว ซึ่งจะเห็นความแตกต่างอย่างชัดเจนของพื้นผิวชิ้นทุเรียนหอดจากไมโครกราฟในรูปที่ 23 ที่แสดงพื้นผิวของชิ้นทุเรียนที่หอดที่อุณหภูมิ 170 °C เป็นเวลา 5 นาที พื้นผิwtตัวอย่างที่เคลือบพิล์มจะเรียบกว่าของตัวอย่างที่ไม่ได้เคลือบพิล์ม ซึ่งส่งผลให้ผลิตภัณฑ์หอดที่ได้มีปริมาณไขมันหายใจต่ำกว่าตัวอย่างมีนัยสำคัญ ($P<0.05$)

Mallikajunan et al. (1997) อธิบายการลดการดูดซับของน้ำมันและการสูญเสียความชื้นเป็นผลมาจากการเกิดชั้นป้องกัน (protective layer) บนพื้นผิวของตัวอย่างในระหว่างช่วงแรกของการหอดเนื่องจากการเกิดเจล (gelation) ที่อุณหภูมิมากกว่า 60 °C ชั้นป้องกันที่เกิดขึ้นจะไปยับยั้งการถ่ายโอนของความชื้นและน้ำมันในระหว่างตัวอย่างกับสิ่งแวดล้อมของมัน ดังนั้นความสม่ำเสมอของการเคลือบ (coating integrity) จึงเป็นปัจจัยที่สำคัญ เพราะถ้ามีรอยแตก (crack) ก็จะลดสมบัติการกีดกัน (barrier property) ลง (Donhowe and Fennema, 1993; Huse et al., 1998) ซึ่งความสมบูรณ์ของการเคลือบทึบชิ้นกับชนิดของสับสเตรท (Garcia et al., 2002)

ในทำนองเดียวกันจากรูปที่ 24 ตัวอย่างที่ถูกนำไปอบที่อุณหภูมิ 60°C ก่อนนำไปทดสอบให้พื้นผิวที่มีความพรุนมากกว่าตัวอย่างที่วางทิ้งไว้ที่อุณหภูมิห้องและที่ 80°C จึงทำให้สามารถแพร่ผ่านน้ำมันเข้าสู่อาหารได้ดีกว่า สอดคล้องกับผลของปริมาณน้ำมันที่ถูกดูดซึมมากกว่าตัวอย่างนั้นเอง ความแตกต่างของโครงสร้างจุลภาคของชิ้นทุเรียนทอดที่มีวิธีการเคลือบแตกต่างกันก็มีผลต่อเนื้อสัมผัสของตัวอย่างเช่นกันดังแสดงในตารางที่ 6 ซึ่งแสดงได้ด้วยค่าความแข็งซึ่งมาจากการเคลือบแตกต่างกันก็มีผลต่อเนื้อสัมผัสของตัวอย่างเช่นกันดังแสดงในตารางที่ 6 ซึ่งแสดงได้ด้วยค่าความแข็งซึ่งมาจากการเคลือบ maximum force parameter โดยจะท่อนถึงพื้นผิวด้านนอกของชิ้นทุเรียนทอดเมื่อถูกตัดด้วยหัวตัดจากเครื่อง Instron texture analysis ทั้งนี้เนื่องจากในระหว่างการทอด ค่าความแข็งของตัวอย่างจะลดลงในช่วงเริ่มต้น เนื่องจากเนื้อเยื่อของชิ้นทุเรียนอ่อนลงเพราะเกิดการเจลตัวในเชิงของแป้งและการละลายของ lamella media (Andersson et al., 1994) จากนั้นค่าความแข็งของตัวอย่างจึงพัฒนาเพิ่มขึ้นตามระยะเวลาของการทอดสอดคล้อง กับสมบัติของเปลือกของชิ้นทุเรียนทอด ลักษณะเช่นนี้เกิดขึ้นเดียวกันในกรณีของมันฝรั่งทอด (Pedreschi et al., 2001) เนื้อสัมผัสโดยรวมของชิ้นทุเรียนในทุกช่วงเวลาของการทอดจะมาจากกระบวนการหั่นส่องดังกล่าว ดังนั้น วิธีการเคลือบที่แตกต่างกันทำให้มีโครงสร้างทางจุลภาคที่แตกต่างกัน จึงส่งผลให้เกิดการเจลตัวในเชิงของแป้งและการละลายของ lamella media ที่แตกต่างกันด้วย

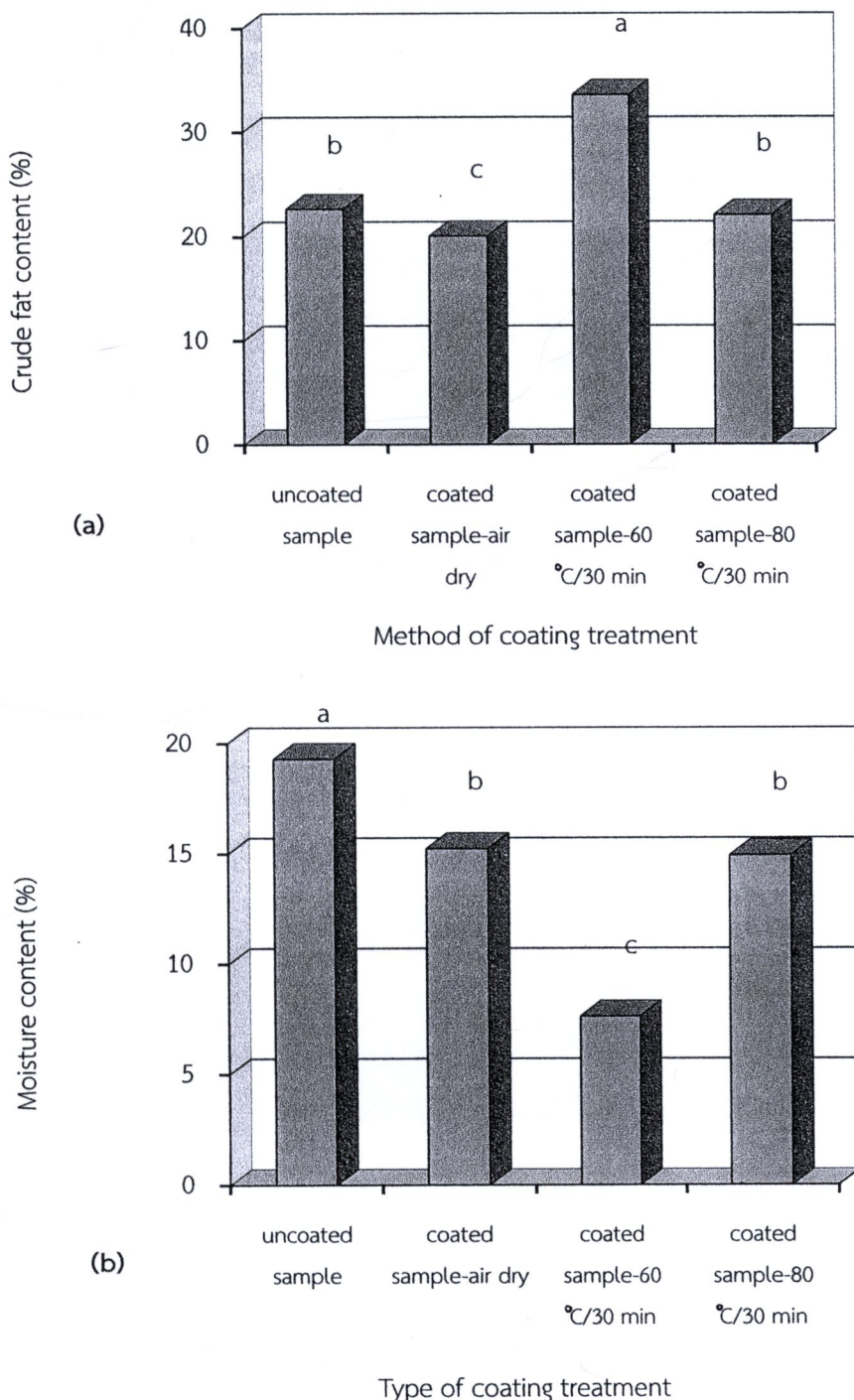
วิธีการเคลือบโดยใช้ความร้อนที่อุณหภูมิ 60 และ 80°C ไม่มีผลช่วยลดการดูดซึมน้ำมันแต่อย่างไร รวมทั้ง การเพิ่มความหนาของฟิล์มโดยการซับช้ำก็ไม่ให้ผลทางบวกด้วย นอกจากนั้นการใช้อุณหภูมิสูงกับผลิตภัณฑ์หลัง ทอดก็ไม่มีผลลดการดูดซึมน้ำมันเช่นกัน (ตารางที่ 6 และรูปที่ 25) การจัดการหลังการทอดด้วยการอบที่ 60°C ก็ไม่มีผลต่อการลดการดูดซึมน้ำมันเช่นกัน โดยมีค่าการดูดซึมน้ำมันไม่แตกต่างจากตัวอย่างเมื่อไม่ได้อบหลังทอดในสภาวะเดียวกัน ทั้ง ๆ ที่วิธีการดังกล่าวใช้ได้ผลกับการทดสอบน้ำมันของนักเก็ตไก่เช่นกัน (Martinez-Avila et al. (2010) ซึ่งสอดคล้องกับโครงสร้างทางจุลภาคของตัวอย่างหลังทอดที่อบและไม่อบที่ไม่สามารถบอกความแตกต่างได้ ชัดเจน (รูปที่ 26) แต่ตัวอย่างที่ผ่านการอบหลังจากทดสอบน้ำมันทั้ง 2 ทรีตเมนต์ที่ทำการศึกษาต่างกันให้ผลิตภัณฑ์ชิ้นทุเรียนทอดที่มีเนื้อสัมผัสมีค่าความแข็งมากกว่าตัวอย่างที่ไม่ได้อบหลังการทดสอบในสภาวะเดียวกัน นอกจากนั้นก็มี แนวโน้มที่จะมีพารามิเตอร์สีของความสว่างต่ำกว่าด้วย (ตารางที่ 6)

กล่าวโดยสรุปได้ว่า วิธีการเหมาะสมที่สุดสำหรับการเคลือบฟิล์มแป้งเม็ดทุเรียนบนชิ้นทุเรียนทอดที่อุณหภูมิ 170°C เป็นเวลา 5 นาทีคือ หลังเคลือบแล้ววางทิ้งไว้ที่อุณหภูมิห้อง (30°C) เป็นเวลา 30 นาที โดยสามารถลดการดูดซึมน้ำมันอย่างมีนัยสำคัญ ($P<0.05$) ประมาณ 11.5% โดยฟิล์มแป้งเม็ดทุเรียนสามารถดัดแปลงการกีดกันการเคลื่อนที่ผ่านของทั้งน้ำมันเข้าสู่ตัวอย่างและการเคลื่อนที่ของความชื้นออกจากตัวอย่าง ซึ่งแสดงได้ด้วยปริมาณของไขมันหยาบและปริมาณความชื้นที่แตกต่างกันอย่างมีนัยสำคัญ ($P<0.05$) ของผลิตภัณฑ์ทุเรียนทอดที่ไม่ได้เคลือบและเคลือบฟิล์ม

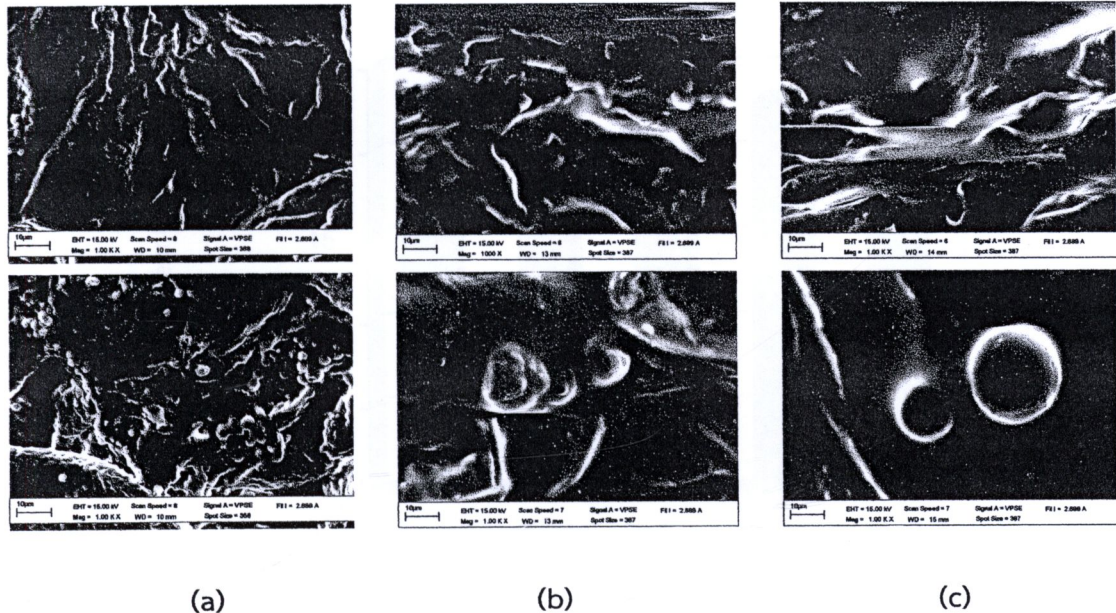


ตารางที่ 6 ผลของวิธีการเคลือบฟิล์มแป้งเม็ดทุเรียนต่อบริมาณไขมันหยาบ ปริมาณความชื้น ความแข็ง และค่าพารามิเตอร์สีของผลิตภัณฑ์ชิ้นทุเรียนทอดที่อุณหภูมิ 170°C เป็นเวลา 5 นาที

วิธีการเคลือบฟิล์มแป้งเม็ดทุเรียน บนชิ้นทุเรียน	ปริมาณไขมัน หยาบ (%)	ปริมาณ ความชื้น (%)	ความแข็ง (KgF)	ค่าพารามิเตอร์สี		
				L*	a*	b*
ตัวอย่างเคลือบก่อนทอด	0.75	60.30 ± 0.46	1.729 ± 0.582	79.12	-2.65	28.40
ตัวอย่างทอดที่ไม่ได้เคลือบฟิล์ม	22.64	19.28 ± 1.03	1.694 ± 0.841	45.02	13.26	31.38
การจัดการหลังเคลือบฟิล์ม						
วางทิ้งที่อุณหภูมิห้อง 30 นาที	20.05	15.22 ± 0.76	1.608 ± 0.141	50.22	6.55	33.00
อบที่ 60°C 30 นาที	33.55	7.61 ± 0.34	1.871 ± 0.289	40.83	11.58	28.42
อบที่ 60°C 60 นาที	32.22	7.47 ± 0.37	1.896 ± 0.723	42.54	11.69	27.16
อบที่ 60°C 30 นาที (เคลือบ 2 ครั้ง)	23.01	14.33 ± 0.76	2.669 ± 1.036	38.38	13.47	25.12
อบที่ 80°C 30 นาที	22.05	14.91 ± 0.82	1.375 ± 0.390	43.96	10.59	30.14
การจัดการหลังเคลือบฟิล์ม/ หลังทอด						
วางทิ้งที่อุณหภูมิห้อง 30 นาที/ อบที่ 60°C 30 นาที	20.23	12.12 ± 0.44	3.313 ± 1.895	49.43	8.64	32.20
อบที่ 60°C 30 นาที/ อบที่ 60°C 30 นาที	34.62	9.06 ± 0.46	2.575 ± 0.532	46.38	10.60	31.58



รูปที่ 22 (a) ปริมาณไขมันหยาบและ (b) ปริมาณความชื้นของตัวอย่างชิ้นทุเรียนทอดที่เคลือบด้วยแป้งเม็ดทุเรียน เมื่อทอดที่อุณหภูมิ 170°C เป็นเวลา 5 นาที และใช้การจัดการหลังการเคลือบที่แตกต่างกัน 3 แบบ คือ ทึ้งให้แห้งที่ อุณหภูมิห้อง (30°C), 60 และ 80°C เป็นเวลา 30 นาที ก่อนนำมาทอดทันทีเปรียบเทียบกับตัวอย่างที่นำมาทอดโดยไม่ได้เคลือบฟิล์ม

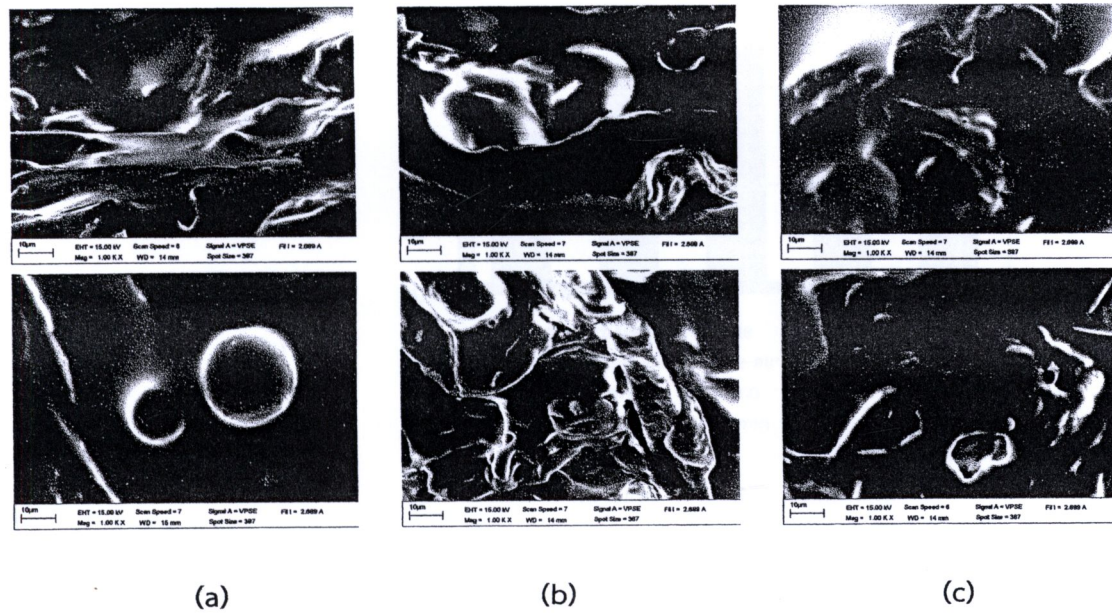


(a)

(b)

(c)

รูปที่ 23 โครงสร้างจุลภาคของชิ้นทุเรียนหอดที่ 170°C เมื่อตรวจด้วยกล้องจุลทรรศน์แบบส่องกราดที่กำลังขยาย 1000 เท่า โดยแสดงภาคตัดขวาง (บน) และพื้นผิว (ล่าง) ของตัวอย่างที่ (a) เป็นชิ้นทุเรียนสด (b) ชิ้นทุเรียนหอดที่ไม่ได้เคลือบฟิล์ม และ (c) ชิ้นทุเรียนหอดที่เคลือบฟิล์มแป้งเม็ดทุเรียนแล้วทั้งทิ้งไว้ที่อุณหภูมิห้อง 30 นาทีก่อนนำไปหอด

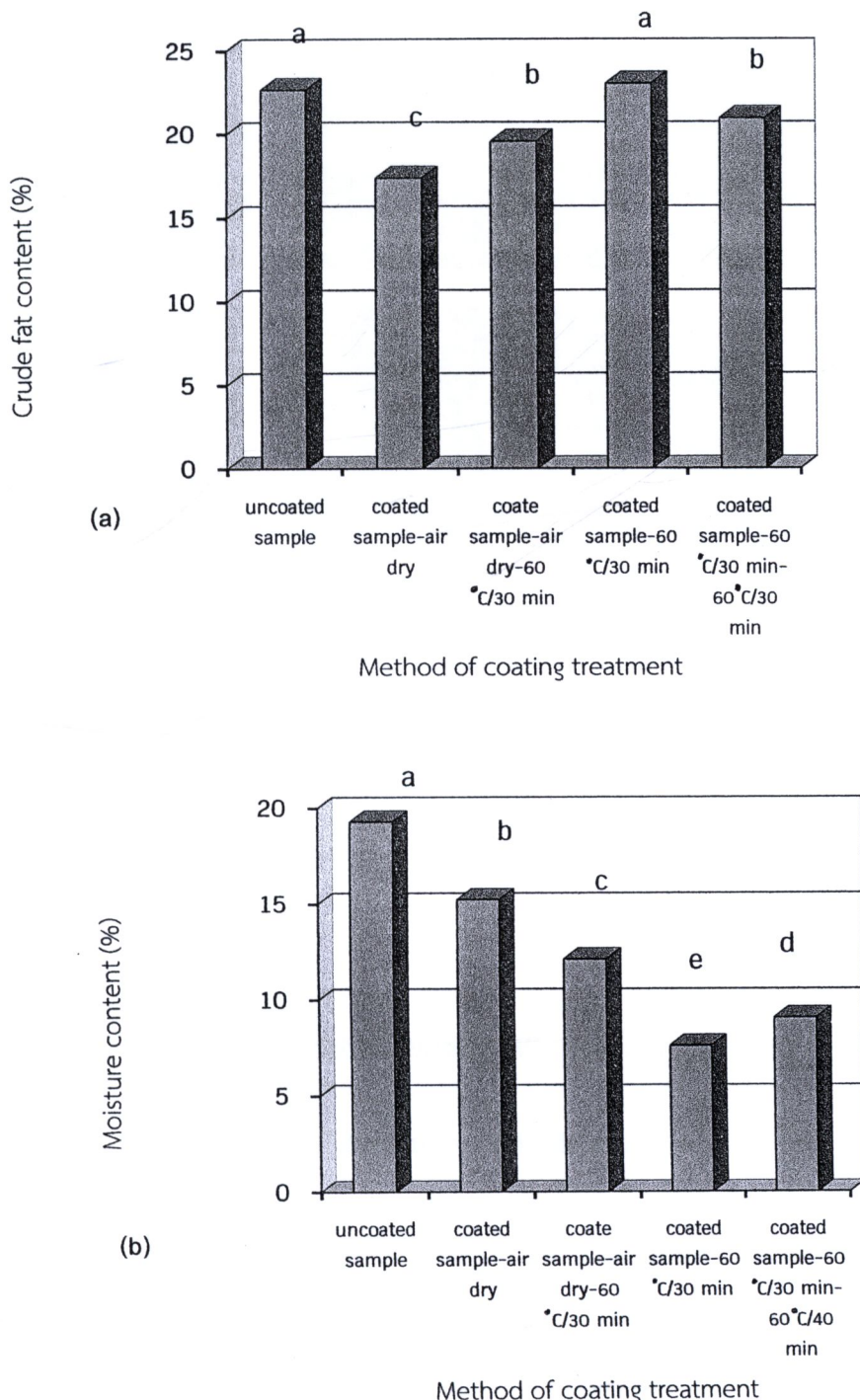


(a)

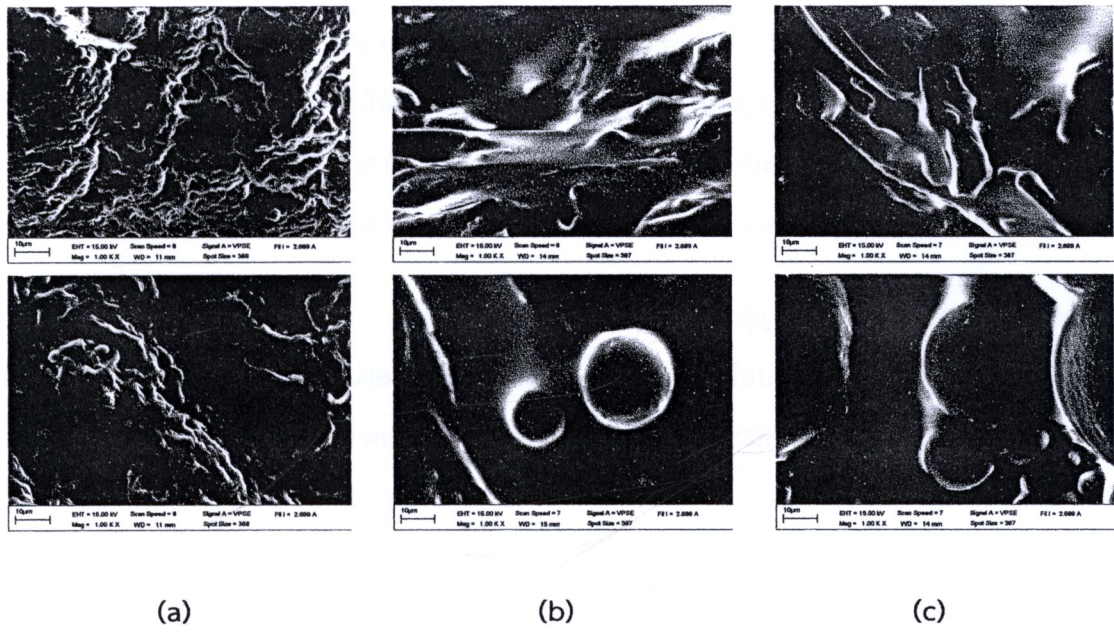
(b)

(c)

รูปที่ 24 โครงสร้างจุลภาคของชิ้นทุเรียนหอด เมื่อตรวจด้วยกล้องจุลทรรศน์แบบส่องกราดที่กำลังขยาย 1000 เท่า โดยแสดงภาคตัดขวาง (บน) และพื้นผิว (ล่าง) ของตัวอย่างที่มีวิธีการจัดการหลังเคลือบฟิล์มแตกต่างกันโดย (a) ตั้งทิ้งไว้ที่อุณหภูมิห้อง 30 นาที (b) อบที่ 60°C 30 นาที และ (c) อบที่ 80°C 30 นาที ก่อนนำไปหอด



รูปที่ 25 (a) ปริมาณไขมันทรียาบและ (b) ปริมาณความชื้นของตัวอย่างชิ้นที่เรียนทดสอบที่เคลือบด้วยแป้งเม็ดทุเรียน และทดสอบที่อุณหภูมิ 170°C เป็นเวลา 5 นาที เมื่อใช้การจัดการหลังการเคลือบที่แตกต่างกัน 3 แบบ คือ ทึ่งให้แห้งที่ อุณหภูมิห้อง (30°C) และ 60°C เป็นเวลา 30 นาที ก่อนนำมาทดสอบทันที หลังจากนั้นจึงนำมาอบต่อที่อุณหภูมิ 60°C เป็นเวลา 40 นาทีเปรียบเทียบกับตัวอย่างที่นำมาทดสอบโดยไม่ได้เคลือบพิล์ม



รูปที่ 26 โครงสร้างจุลภาคของชิ้นทุเรียน (หอด) เมื่อตรวจด้วยกล้องจุลทรรศน์แบบส่องกราดที่กำลังขยาย 1000 เท่า โดยแสดงภาคตัดขวาง (บн) และพื้นผิว (ล่าง) ของตัวอย่างที่มีวิธีการจัดการหลังหอดแตกต่างกันโดยตัวอย่างชิ้นทุเรียนสดที่เคลือบฟิล์มแล้วตั้งทิ้งไว้ที่อุณหภูมิห้อง 30 นาที (a) ไม่ได้หอด (b) หอดที่ 170°C และ (c) หลังหอดอบที่ 60°C 30 นาที

ตอนที่ 3 การเสริมแคลเซียมชิ้นทุเรียนด้วยกระบวนการแข็งในสูญญากาศ

ในระหว่างกระบวนการออสโมติกด้วยเครื่อง (osmotic dehydration) เนื้อเยื่อของเซลล์จะถูกจุ่มลงในสารละลายความเข้มข้นสูงที่เรียกว่าสารละลายออสโมติก (osmotic solution) จะเกิดการสูญเสียน้ำในเซลล์ของผลไม้เนื่องจากโครงสร้างของเนื้อเยื่อถูกเปิดให้เพื้นที่ว่างในระหว่างเซลล์ (intercellular space) จึงทำให้เกิดการแพร์ของตัวถูกละลายจากสารละลายภายนอกเข้าสู่ผลไม้ มีการแลกเปลี่ยนแก๊สในรูพรุนกับฟลูอิดภายนอก (external fluid (Fito, 1994) ดังนั้นตัวถูกละลายที่มี physiological function เช่นแคลเซียม จึงสามารถถูกนำเข้าไปในโครงสร้างของเซลล์ของผลไม้ การใช้สูญญากาศเพียงชั่วระยะเวลาสั้น ๆ ในระยะเวลาเริ่มต้นของการออสโมติกจะมีผลกระทบต่อจำนวนสารตัวและคุณภาพของผลไม้ รวมทั้งช่วยลดค่าใช้จ่ายในเรื่องพลังงาน (Fito and Chiralt, 2000) โดยทั่วไปแล้วจำนวนสารตัวของกระบวนการออสโมติกด้วยเครื่องพิจารณาในทอมของปริมาณน้ำที่สูญเสีย การสูญเสียน้ำหนัก และปริมาณของแข็งที่เพิ่มขึ้น (Fito and Chiralt, 1997) ซึ่งมักขึ้นกับลักษณะของวัตถุดิบ (Raoult-Wack, 1994) และสภาวะที่ใช้ในการประรูป เช่น ความเข้มข้นและอุณหภูมิ (Barat et al., 2001) เวลาที่ใช้ในกระบวนการออสโมติกด้วยเครื่อง (Escrive et al., 2000) หรือความดัน (Barat et al., 2001)

ผลของการใช้กระบวนการแข็งในสุญญาการ

การทดลองในส่วนนี้ได้ศึกษาถึงผลการใช้กระบวนการอสโนติกดีไฮเดรชันโดยการแข็งในสุญญาการร่วมกับในสุญญาการห้อง โดยใช้สารละลายน้ำซึ่งเป็นน้ำแข็ง 20 และ 55% (w/v) เปรียบเทียบระหว่างทรีตเมนต์ที่แข็งตัวอย่างในสุญญาการ (50 mbar) 5 นาทีตามด้วยที่สุญญาการ (1000 mbar) 15 นาที กับทรีตเมนต์ที่ใช้เฉพาะสุญญาการเพียงอย่างเดียว และใช้ความเข้มข้นของไอโอดีนแคลเซียมที่ 2% (w/w sample)

จากการที่ 7 จะเห็นได้ว่า เมื่อใช้กระบวนการแข็งในสุญญาการร่วมด้วยจะทำให้ผลิตภัณฑ์ชั้นทุเรียนสามารถนำเข้าแคลเซียมได้ดีกว่าอย่างมีนัยสำคัญ ($P<0.05$) เมื่อเปรียบเทียบกับการใช้กระบวนการอสโนติกดีไฮเดรชันในสุญญาการปกติเพียงอย่างเดียวในทั้งสองความเข้มข้น โดยสามารถนำเข้าแคลเซียมได้มากกว่าคิดเป็นร้อยละ 53.28 และ 46.98 สำหรับตัวอย่างที่ใช้สารละลายน้ำซึ่งเป็นน้ำแข็ง 20 และ 55% ตามลำดับ โดยผลิตภัณฑ์สุดท้ายของตัวอย่างที่ใช้สุญญาการร่วมกับอสโนติกดีไฮเดรชันที่สุญญาการและใช้สารละลายน้ำตาลซึ่งความเข้มข้น 20% มีปริมาณแคลเซียมเท่ากับ 47.09 มิลลิกรัม Ca/100 กรัมชั้นทุเรียน (น้ำหนักเปรียบ) นั่นคือมีปริมาณมากกว่าเมื่อเปรียบเทียบกับชั้นทุเรียนสด (25.30 มิลลิกรัม Ca/100 กรัมทุเรียนสด) ประมาณ 2 เท่า นั่นคือ 100 กรัมของผลิตภัณฑ์ที่ได้จะให้ประมาณ 4.71% ของ RDI ของแคลเซียม (1000 มก./วัน) กระบวนการแข็งในสุญญาการจะช่วยให้ทำการแพะผ่านของแข็งที่ละลายได้เข้าสู่ผลิตภัณฑ์ในระหว่างกระบวนการอสโนติกดีไฮเดรชันได้ดีขึ้นในขณะที่ลดค่าคงที่อัตราของการสูญเสียน้ำ (rate constant of water loss) (Fito and Chiralt, 2001; Fito et al., 2001b, Mujica-Paz et al., 2003) อย่างไรก็ตามในสุญญาการที่ใช้ในการทดลองนี้ความเข้มข้นของน้ำตาลซึ่งเป็น 20 และ 55% ไม่มีผลต่อการนำเข้าของแคลเซียมโดยให้ค่าไม่แตกต่างทางสถิติ ($P>0.05$) ทั้งในทรีตเมนต์ที่ใช้และไม่ใช้การแข็งสุญญาการร่วมด้วย และการใช้กระบวนการอสโนติกดีไฮเดรชันที่สุญญาการปกติเป็นเวลา 15 นาทีเพียงอย่างเดียว โดยผลิตภัณฑ์ที่ได้มีปริมาณแคลเซียมไม่แตกต่างทางสถิติ ($P>0.05$) กับชั้นทุเรียนสด

สำหรับกลไกที่เกิดขึ้นเสนอแนะโดย Moraga et al. (2009) ที่ศึกษาการใช้กระบวนการแข็งในสุญญาการของเกรฟฟรุต (grapefruit) รายงานว่าตัวอย่างที่ผ่านกระบวนการแข็งในสุญญาการจะมีค่าตัวถูกละลายที่ได้รับ (solute gain) มากกว่าในขณะที่มีการสูญเสียปริมาณน้ำน้อยกว่าเมื่อเปรียบเทียบกับตัวอย่างที่ไม่ได้ผ่านกระบวนการแข็งในสุญญาการ ในขณะที่ Fito and Chhialt (1997) อธิบายว่าการถ่ายโอนของน้ำและตัวถูกละลายที่เกิดขึ้นในระหว่างกระบวนการอสโนติกดีไฮเดรชัน (osmotic dehydration) เป็นผลมาจากการ 2 ประการคือ pseudodiffusional mechanism ซึ่งเกี่ยวข้องกับ osmotic mechanism และ Fickian mechanism โดยกลไกแบบนี้มีความสัมพันธ์กับการเดินในความเข้มข้น (gradients in concentration) และ hydrodynamic mechanisms ที่เกิดจากแรงดึงดูดของความดัน (pressure gradients) ซึ่งเกี่ยวข้องกับโครงสร้างของผลิตภัณฑ์และอุณหภูมิที่ใช้ในกระบวนการ

ตารางที่ 7 ผลของการใช้กระบวนการแข็งในสภาวะสุญญากาศร่วมกับกระบวนการอสโนติกดีไซเดรชันในบรรยายกาศ ปกติต่อปริมาณแคลเซียมและเนื้อสัมผัสของผลิตภัณฑ์ชินทุเรียน เมื่อใช้ความเข้มข้นของแคลเซียม 2% (w/w sample)

ความเข้มข้นของสารละลายน้ำซึ่ครอส (% w/v)	สภาวะที่ใช้		ปริมาณแคลเซียม (mg Ca/100 g sample)	ความแข็ง (KgF)
	Vacuum impregnation (min)	Osmotic dehydration (min)		
20	0	15	30.72 ^{ab} ± 1.55	1.681 ^{ns} ± 0.213
20	5	15	47.09 ^c ± 3.96	1.703 ^{ns} ± 0.287
55	0	15	25.56 ^a ± 5.64	1.530 ^{ns} ± 0.094
55	5	15	37.57 ^{bc} ± 1.19	1.983 ^{ns} ± 0.071
ชินทุเรียนสดก่อนผ่านกระบวนการ			25.30 ^a ± 1.52	1.729 ^{ns} ± 0.582

^{a-c} ตัวอักษรตามแนวตั้ง แสดงถึงข้อมูลที่แตกต่างกันทางสถิติอย่างมีนัยสำคัญ ($P<0.05$)

^{ns} ตัวอักษรตามแนวตั้ง แสดงถึงข้อมูลที่ไม่แตกต่างกันทางสถิติ ($P>0.05$)

การที่ปริมาณแคลเซียมถูกนำเข้าสู่โครงสร้างของพืชที่มีรูพรุน (porous structure) เลยดูเหมือนจะทำให้ลดการกำจัดน้ำที่เกิดขึ้นในระหว่างกระบวนการอสโนติกดีไซเดรชันที่ดำเนินการต่อเนื่อง ทั้งนี้อาจเนื่องจากการที่แคลเซียมเข้ากระทำกับแมทริกซ์ของเซลล์ (plant cellular matrix) โดยเกิดพันธะระหว่าง เพคตินกับองค์ประกอบของผนังเซลล์ (Brett and Waldron, 1990; Gras et al., 2003) ซึ่งอาจเป็นสาเหตุที่เหนี่ยวแน่นให้เกิดการเปลี่ยนแปลงของสมบัติทางกล ส่งผลให้เกิดการถ่ายโอนของมวลในระหว่างกระบวนการอสโนติกดีไซเดรชัน และเกิดการเปลี่ยนแปลงของเซลล์ในแบบ deformation-relaxation phenomena (Barrera et al. 2009) จึงเกิดการสูญเสียน้ำและมีปริมาตรของตัวอย่างลดลง (Barat et al, 1998) โดยการลดลงของปริมาตรไม่จำเป็นต้องเป็นเชิงเส้น (linear correlation) กับปริมาณความชื้น แต่ขึ้นกับชนิดของอาหาร และสมบัติ viscoelastic ของเนื้อเยื่อ และการเปลี่ยนแปลงในระดับโครงสร้าง อย่างไรก็ตาม จากตารางที่ 7 จะเห็นได้ว่าเนื้อสัมผัสของผลิตภัณฑ์สุดท้ายมีค่า

ความแข็งของทุกทรีเมนต์ไม่มีความแตกต่างทางสถิติ ($P>0.05$) กับชิ้นทุเรียนสดที่ไม่ได้ผ่านกระบวนการอสโนซิส ผลในทำนองเดียวกันพบได้จากการศึกษาของ Moraga et al (2009) รายงานว่าไม่มีความแตกต่างของเนื้อสัมผัสของเนื้อยี่อีเกรปฟрут (grapefruit) ซึ่งอาจเนื่องมาจากธรรมชาติความยืดหยุ่น (elastic nature) ของเนื้อยี่อีเกรปฟрут เมื่อใช้ความเข้มข้นของแคลเซียมที่ 2%

ผลของการบวนการแข็งในสภาวะสูญญาณเห็นได้ชัดเจนจากไมโครกราฟของโครงสร้างจุลภาคดังแสดงในรูปที่ 27 เมื่อเปรียบเทียบกับชิ้นทุเรียนสด พบรการแทนที่แก่ส่วนของเหลวที่พื้นผิวที่มีรูพรุนของตัวอย่างที่ผ่านกระบวนการแข็งในสภาวะสูญญาณ (Barat, 1997) ลักษณะของโครงสร้างเซลจะได้รับอิทธิพลในระหว่างกระบวนการอสโนติกด้วยเดรชันของผลไม้ เช่น การเปลี่ยนแปลงของผนังเซล การแยกออกของ middle lamella การลysis (lysis) ของเมมเบรน (Plasmalemma and tonoplast) การหดตัวของเนื้อยี่อี เหล่านี้ จะทำให้เกิดการเปลี่ยนแปลง cellular compartmentalization, wall matrix และการเพร่งผ่านของเมมเบรน (membrane permeability) ที่มีอิทธิพลอย่างมากกับสมบัติการเคลื่อนย้ายของผลิตภัณฑ์ในระหว่างกระบวนการอสโนติกด้วยเดรชัน ผลิตภัณฑ์ที่ผ่านกระบวนการอสโนติกด้วยเดรชันจะมีความหนาของผนังเซลมากกว่า อาจเนื่องจากการดูดซับของน้ำตาลที่องค์ประกอบของผนังเซล ได้แก่ เซลลูโลส สารประกอบแพคติก และโพลิแซคคาไรด์อื่น ๆ (Nieto et al., 1998) นอกจากนั้นยังมีการลดลงของขนาดของเซล เนื่องจากกระบวนการอสโนติกด้วยเดรชันจะทำให้ขนาดของตัวอย่างลดลง (Prothon et al., 2001)

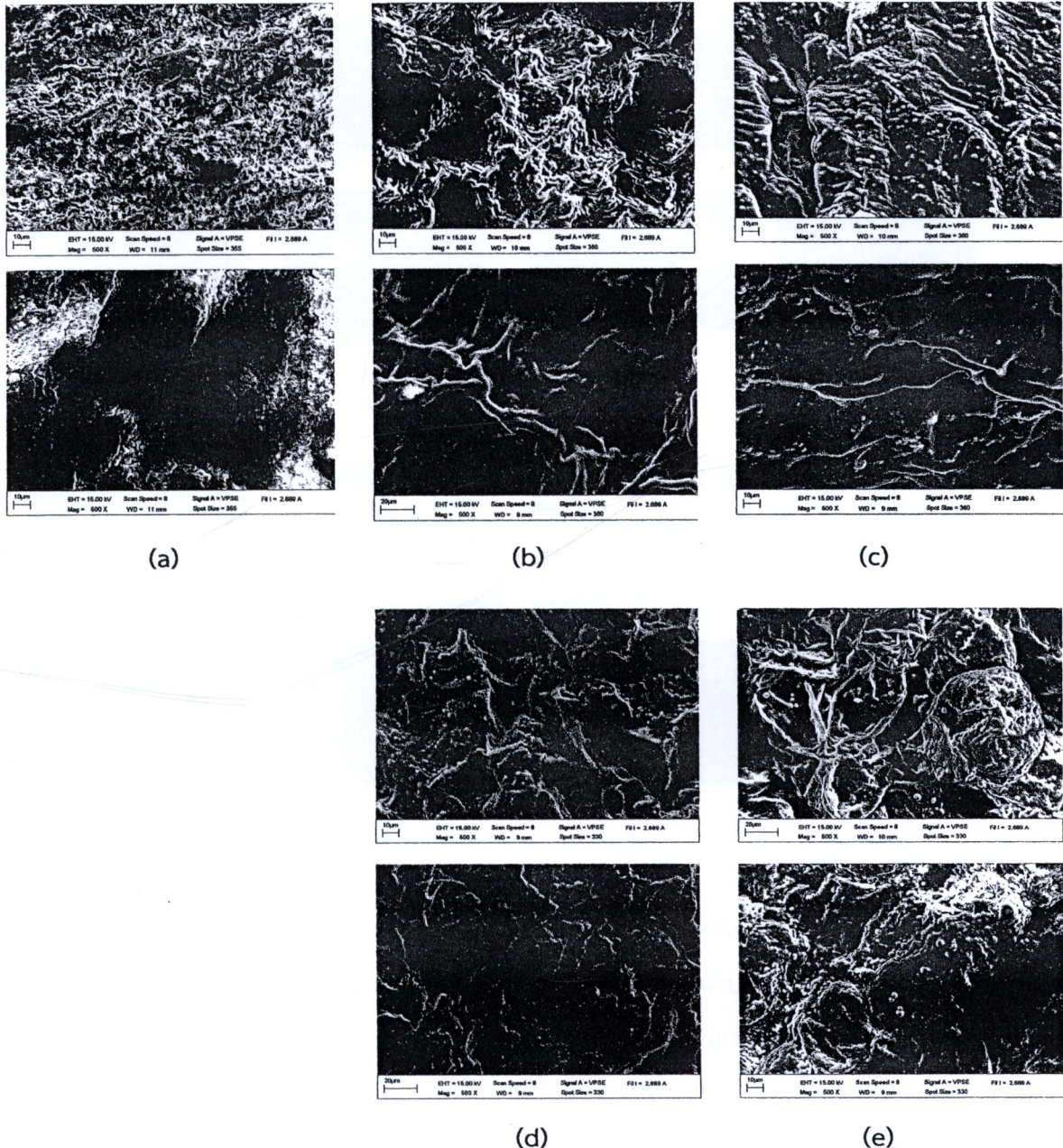
ผลของความเข้มข้นของแคลเซียม

ตารางที่ 8 แสดงผลของความเข้มข้นของแคลเซียมต่อการนำเข้าของแคลเซียมและเนื้อสัมผัสของตัวอย่างชิ้นทุเรียนที่ผ่านกระบวนการแข็งในสภาวะสูญญาณ 5 นาที ตามด้วยกระบวนการอสโนติกด้วยเดรชันในสภาวะบรรยายกาศปกติอีก 15 นาที โดยใช้สารละลายอสโนติกเป็นโซ่อครสที่ความเข้มข้น 20 และ 55% และความเข้มข้นของแคลเซียมที่ 0, 2, 4 และ 6% พบร่วมกับน้ำที่จุ่มตัวอย่างในสารละลายโซ่อครสทั้งสองความเข้มข้นโดยที่ไม่มีการเติมไอกอนแคลเซียม จะพบการเพร่องของแคลเซียมที่เป็นองค์ประกอบในตัวอย่างชิ้นทุเรียน ทำให้ผลิตภัณฑ์ที่ได้มีปริมาณแคลเซียมลดลงเล็กน้อย แต่ไม่มีความแตกต่างทางสถิติ ($P>0.05$) กับตัวอย่างสดที่ไม่ผ่านกระบวนการอสโนติกด้วยเดรชัน ความเข้มข้นของแคลเซียมมีผลต่อการนำเข้าของแคลเซียม โดยที่เมื่อใช้ความเข้มข้น 6% ซึ่งเป็นความเข้มข้นสูงสุดที่ใช้ในการทดลองนี้ จะให้ตัวอย่างสุดท้ายที่มีปริมาณแคลเซียมเท่ากับ 74.08 และ 73.76 mg Ca/100 g sample ซึ่งไม่มีความแตกต่างกันทางสถิติ ($P>0.05$) ในทั้งสองทรีเมนต์ที่ใช้ความเข้มข้นของสารละลายโซ่อครส 20 และ 55% ตามลำดับ โดยมีปริมาณแคลเซียมมากกว่าในทุเรียนสดประมาณ 3 เท่า ซึ่งมีผลทำให้ตัวอย่างหักสองทรีเมนต์ดังกล่าวมีความแข็งของเนื้อสัมผasmakagกว่าทรีเมนต์อื่นอย่างมีนัยสำคัญ ($P>0.05$) สอดคล้องกับลักษณะโครงสร้างทางจุลภาคดังแสดงในไมโครกราฟในรูปที่ 28

ตารางที่ 8 ผลของความเข้มข้นของไอโอกอนแคลเซียมในสารละลายน้ำมันติกต่อปริมาณแคลเซียมและเนื้อสัมผัสของผลิตภัณฑ์ชินทุเรียน เมื่อใช้สภาวะในการทดลองร่วมกันของกระบวนการแข็งในสภาวะสุญญากาศ 5 นาที แล้วตามด้วยกระบวนการอสโนมติกด้วยเครื่องในบรรยายกาศปกติ 15 นาที

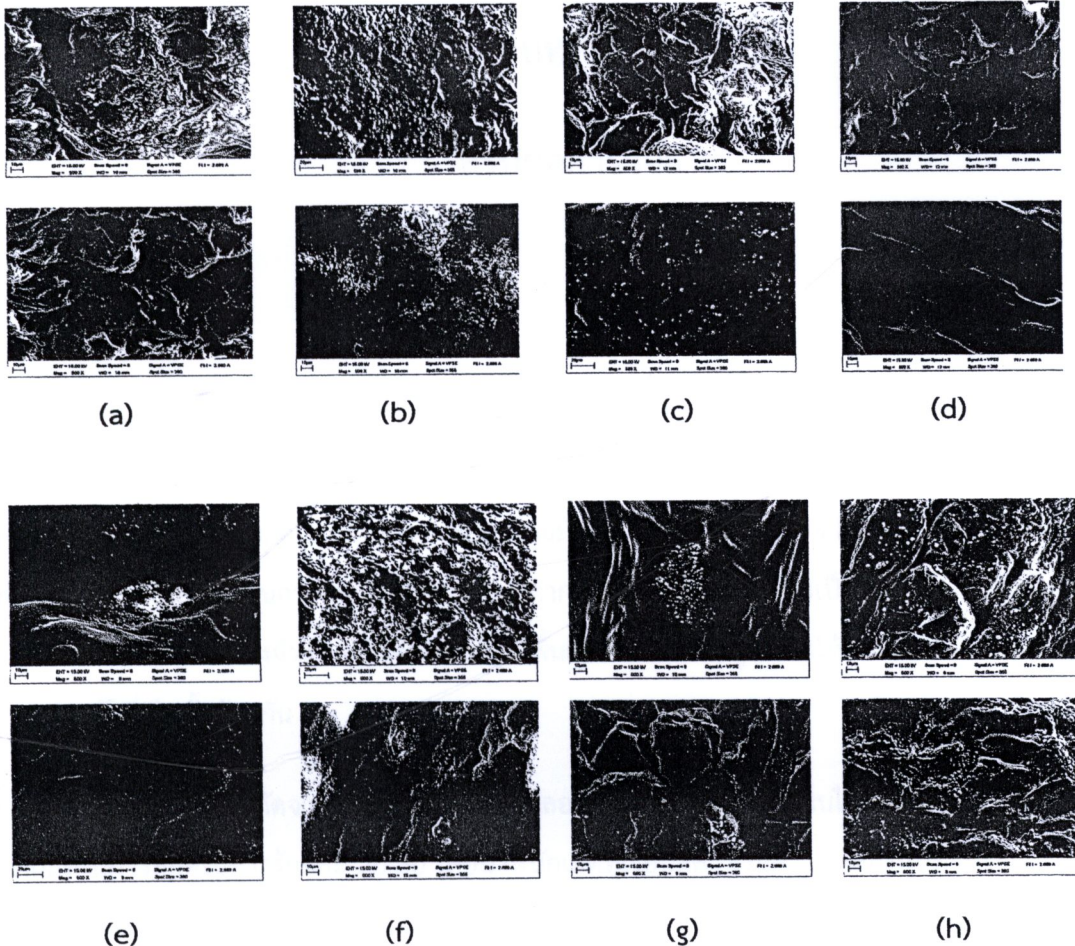
ความเข้มข้นของสารละลายน้ำมัน (% w/v)	ความเข้มข้นของแคลเซียม (%w/w sample)	ปริมาณแคลเซียม (mg Ca/100 g sample)	ความแข็ง (KgF)
20	0	16.89 ^a ± 0.74	1.463 ^a ± 0.728
20	2	47.72 ^b ± 0.25	2.262 ^{ab} ± 0.592
20	4	52.94 ^{bc} ± 2.76	2.027 ^{ab} ± 0.611
20	6	74.08 ^d ± 2.77	2.688 ^b ± 0.870
55	0	17.78 ^a ± 1.76	1.651 ^{ab} ± 0.259
55	2	42.54 ^b ± 9.34	2.218 ^{ab} ± 0.465
55	4	63.48 ^{cd} ± 10.46	2.383 ^{ab} ± 1.259
55	6	73.76 ^d ± 13.32	2.634 ^b ± 0.297
ชินทุเรียนสดก่อนผ่านกระบวนการ		25.30 ^a ± 1.52	1.729 ^{ab} ± 0.582

a-d ตัวอักษรตามแนวนอน แสดงถึงข้อมูลที่แตกต่างกันทางสถิติอย่างมีนัยสำคัญ ($P<0.05$)



รูปที่ 27 โครงสร้างจุลภาคของชั้นทุเรียน เมื่อตรวจด้วยกล้องจุลทรรศน์แบบส่องกราดที่กำลังขยาย 500 เท่า โดยแสดงภาคตัดขวาง (บ) และพื้นผิว (ล่าง) โดยเปรียบเทียบตัวอย่าง (a) ชั้นทุเรียนสด ตัวอย่าง (b-c) หลังผ่านกระบวนการนำเข้าแคลเซียม เมื่อใช้สารละลายซูโครสเพิ่มขึ้น (b-c) 20% และ (d-e) 55% โดยใช้ความเข้มข้นของแคลเซียม 2% โดยนำหนักของสารตัวอย่าง เมื่อ (b, d) ขณะสภาวะสูญญากาศเป็นเวลา 5 นาที และ (c, e) ออกสูญญากาศเป็นเวลา 5 นาที แล้วตามด้วยอุ่นสโนติกดีไซเดรชันที่บรรยายกาศปกติเพียงอย่างเดียว 15 นาที





รูปที่ 28 โครงสร้างจุลภาคของชิ้นทุเรียน เมื่อตรวจด้วยกล้องจุลทรรศน์แบบส่องกล้องที่กำลังขยาย 500 เท่า โดยแสดงภาคตัดขวาง (บก) และพื้นผิว (ล่าง) โดยเปรียบเทียบตัวอย่างหลังผ่านกระบวนการนำเข้าแคลเซียมโดยใช้ในสภาวะสุญญากาศเป็นเวลา 5 นาที แล้วตามด้วยอุ่นโน้มติกดไฮเดรชันที่บรรยายกาศปกติ 15 นาที เมื่อใช้สารละลายซูโครสเข้มข้น (a-d) 20% และ (e-h) 55% โดยใช้ความเข้มข้นแคลเซียม (a, e) 0%, (b, f) 2%, (c, g) 4% และ (d, h) 6% (w/w sample)